

**Uji Eksperimental Kuat Lentur Balok dan Pelat Beton Bertulang  
dengan Agregat Kasar dan Halus Beton Daur Ulang**



**Disusun oleh:**  
**Buen Sian**  
**Adhijoso Tjondro**  
**Riani Sidauruk**  
**Sisi Nova Rizkiani**

**Lembaga Penelitian dan Pengabdian kepada Masyarakat  
Universitas Katolik Parahyangan  
(2013)**

## **Prakata**

Puji Syukur kami panjatkan kepada Tuhan Yang Maha Esa dan ucapan terima kasih kami sampaikan kepada Lembaga Penelitian dan Pengabdian Masyarakat yang telah mendanai biaya penelitian ini.

Penelitian dilakukan sepenuhnya di Laboratorium Struktur Fakultas Teknik Jurusan Sipil Universitas Katolik Parahyangan Bandung. Terima kasih kami ucapkan juga kepada Bapak Teguh Farid Nurul Iman, ST., Bapak Cuncun Piatna, dan Bapak Jaja yang membantu dalam pembuatan bekisting, benda uji, dan pengujian di laboratorium.

Besar harapan kami bahwa penelitian ini dapat memberikan sumbangan bagi pengetahuan untuk dunia Teknik Sipil dan bermanfaat bagi yang memerlukannya.

Bandung, April 2013

Buen Sian

Johannes Adhijoso Tjondro

Riani Sidauruk

Sisi Nova Rizkiani

## ABSTRACT

In this experimental study, recycled concrete was used on cylinder specimens, the reinforced concrete beams, and the reinforced concrete slabs. Recycled concrete made of waste material from laboratory experiment is used for fine and coarse aggregates in this experiment. Cylinder specimens, beams, and slabs were used to determine the mechanical properties such as compressive strength, shear strength, split tensile strength, and flexural strength. Two mix designs with  $f_c' = 25$  MPa and  $F_c' = 20$  MPa were used in this study.

Three different percentage variations of recycled concrete aggregates were used in mix design with  $f_c' = 20$  MPa. Firstly, it consists of 100% recycled coarse aggregates (RCA) and 0% recycle fine aggregates (RFA). Secondly, it consists of 80% RCA and 20% RFA, and thirdly, it consists of 60% RCA and 40% RFA. Nine reinforced concrete slabs with three variations of mix design were tested. The test results showed that the mechanical properties such as compressive strength, split tensile strength, shear strength, and flexural strength decreased when using more RFA. The flexural strength of reinforced concrete slab showed that the yield and ultimate moment are close to each other, but ductility decreased when the RFA increased.

Three different percentage variations of coarse recycled concrete aggregates (RCA) were used in mix design with  $f_c' = 25$  MPa, which are 0%, 50%, and 100% of RCA. The test results showed the characteristics of compressive strength values are:  $f_c' = 28.7$  MPa and  $f_c' = 28.4$  MPa for each of the mixtures of 50% and 100% RCA. The split tensile strength values are:  $f_{ct} = 2.38$  MPa,  $f_{ct} = 2.78$  MPa, and  $f_{ct} = 2.81$  MPa for 0%, 50% and 100% RCA. While the shear strength are:  $f_v = 5.55$  MPa,  $f_v = 4.28$  MPa, and  $f_v = 3.86$  MPa for 0%, 50%, and 100% RCA.

**Keywords:** recycled coarse aggregates, recycled fine aggregates, compressive strength, split tensile strength, shear strength, flexural strength, ductility.

## **DAFTAR ISI**

|                                  |      |
|----------------------------------|------|
| Prakata                          | i    |
| Abstrak                          | ii   |
| Daftar Isi                       | iii  |
| Daftar Notasi                    | vi   |
| Daftar Tabel                     | viii |
| Daftar Gambar                    | x    |
| 1.1 Latar Belakang               | 1-1  |
| 1.2 Tujuan Penelitian            | 1-3  |
| 1.3 Ruang Lingkup                | 1-4  |
| 1.4 Metode Penelitian            | 1-6  |
| 2.1 Beton Sebagai Bahan Bangunan | 2-1  |
| 2.2 Sifat Agregat                | 2-2  |
| 2.3 Beton Daur Ulang             | 2-5  |
| 2.4 Perencanaan Campuran Beton   | 2-6  |
| 2.5 Kuat Tekan Beton             | 2-7  |
| 2.6 Kuat Tarik Belah Beton       | 2-8  |
| 2.7 Kuat Geser Beton             | 2-8  |

|       |  |      |
|-------|--|------|
| 2.8   | Kuat Lentur Beton  | 2-9  |
| 2.9   | Kuat Lentur Balok dan Pelat Beton Bertulang                        | 2-10 |
| 2.10  | Analisis Penampang Persegi Panjang Beton Bertulang                 | 2-11 |
| 2.11  | Evaluasi Kuat Tekan Beton  | 2-12 |
| 2.12  | Daktilitas   | 2-14 |
| 3.1   | Pengujian Beton Keras  | 3-1  |
| 3.2   | Pengujian Beton dengan Kuat Tekan Karakteristik 25 Mpa             | 3-1  |
| 3.2.1 | Benda Uji  | 3-2  |
| 3.2.2 | Pemeriksaan Agregat dan Perencanaan Campuran dengan $fc' = 25$ MPa | 3-2  |
| 3.2.3 | Pemeriksaan Baja Tulangan  | 3-4  |
| 3.2.4 | Uji Kuat Tekan dengan $fc' = 25$ Mpa                               | 3-7  |
| 3.2.5 | Uji Palu Beton dengan $fc' = 25$ Mpa                               | 3-13 |
| 3.2.6 | Uji Kuat Tarik Belah dengan $fc' = 25$ Mpa                         | 3-14 |
| 3.3   | Pengujian Beton dengan Kuat Tekan Karakteristik 20 Mpa             | 3-17 |
| 3.3.1 | Benda uji  | 3-17 |
| 3.3.2 | Pemeriksaan Agregat dan Perencanaan Campuran dengan $fc' = 20$ MPa | 3-18 |
| 3.3.3 | Pemeriksaan Baja Tulangan  | 3-20 |
| 3.3.4 | Uji Kuat Tekan dengan $fc' = 20$ Mpa                               | 3-20 |
| 3.3.5 | Uji Palu Beton dengan $fc' = 20$ Mpa                               | 3-25 |
| 3.3.6 | Kuat Tarik Belah dengan $fc' = 20$ Mpa                             | 3-26 |

|   |      |
|---|------|
| 3.3.7 Uji Kuat Geser Balok dengan $f_c' = 20$ Mpa | 3-29 |
| 4.1 Pengujian Kuat Lentur Balok Tanpa Tulangan    | 4-1  |
| 4.2 Pengujian Kuat Lentur Balok Beton Bertulang   | 4-3  |
| 4.3 Pola Retak Uji Balok Beton Bertulang          | 4-5  |
| 4.4 Daktilitas                                    | 4-7  |
| 5.1 Pengujian Kuat Lentur Pelat Beton Bertulang   | 5-1  |
| 5.2 Pola Retak Pelat Beton Bertulang              | 5-4  |
| 5.3 Daktilitas Pelat Beton Bertulang              | 5-5  |
| 6.1 Kesimpulan                                    |      |
| 6.2 Saran   |      |

## DAFTAR NOTASI DAN SINGKATAN

A = Luas penampang

As = Luas baja tulangan

a = Tinggi ekuivalen dari *rectangular stress block* pada balok bertulang

b = Lebar penampang

C = Gaya tekan

d = Diameter

$\delta$  = Deformasi

$f_c$  = Kuat tekan beton

$f'_c$  = Kuat tekan karakteristik

$f'_{cr}$  = Kuat tekan rata-rata yang ditargetkan

$f_{ct}$  = Kuat leleh

$f_v$  = Kuat geser beton

$f_y$  = Kuat leleh

$f_u$  = Kuat *ultimate*

$f_s$  = Tegangan baja

$J_d$  = Jarak antara gaya tekan dan gaya tarik beton bertulang

$L$  = Panjang benda uji

$M$  = Momen

$M_y$  = Momen pada kondisi leleh

$M_u$  = Momen pada kondisi *ultimate*

$n$  = Jumlah hari pengujian

$P$  = Beban

$P_y$  = Beban pada kondisi leleh

$P_u$  = Beban pada kondisi *ultimate*

$R$  = Modulus of Rupture beton

s = Standart Deviasi

T = Gaya Tarik

W = Berat benda uji

Y = Persamaan regresi kuat tekan beton

RCA = *Recycled Concrete Aggregate*

CTM = *Compression Testing Machine*

UTM = *Universal Testing Machine*

ASTM = *American Society for Testing and Material*

## **DAFTAR TABEL**

|      |   |      |
|------|---|------|
| 2.1  | Definisi Beton  | 2-1  |
| 2.2  | Sifat Beton Keras Berkaitan dengan Sifat Agregat          | 2-3  |
| 3.1  | Pemeriksaan Karakteristik Agregat Halus                   | 3-3  |
| 3.2  | Pemeriksaan Karakteristik Agregat Kasar                   | 3-3  |
| 3.3  | Proporsi Campuran   | 3-4  |
| 3.4  | Pengujian Tarik Tulangan Ulir                             | 3-6  |
| 3.5  | Pengujian Tarik Tulangan Polos                            | 3-6  |
| 3.6  | Data Uji Baja Tulangan Ulir Balok Beton                   | 3-6  |
| 3.7  | Uji Kuat Tekan Beton Campuran 1 dengan 0% RCA             | 3-8  |
| 3.8  | Uji Kuat Tekan Beton Campuran 2 dengan 50% RCA            | 3-8  |
| 3.9  | Uji Kuat Tekan Beton Campuran 3 dengan 100% RCA           | 3-9  |
| 3.10 | Kuat Tekan Karakteristik Beton Campuran 1 dengan 0% RCA   | 3-10 |
| 3.11 | Kuat Tekan Karakteristik Beton Campuran 2 dengan 50% RCA  | 3-11 |
| 3.12 | Kuat Tekan Karakteristik Beton Campuran 3 dengan 100% RCA | 3-12 |
| 3.13 | Hasil Uji Palu Beton                                      | 3-14 |
| 3.14 | Pengujian Kuat Tarik Belah Beton Campuran 1 dengan 0% RCA | 3-15 |

|  |      |
|--|------|
| 3.15 Pengujian Kuat Tarik Belah Beton Campuran 2 dengan 50% RCA    | 3-15 |
| 3.16 Pengujian Kuat Tarik Belah Beton Campuran 3 dengan 100% RCA   | 3-16 |
| 3.17 Perbandingan Nilai Kuat Tarik Belah Beton dibagi $\sqrt{fc'}$ | 3-17 |
| 3.18 Pemeriksaan Karakteristik Agregat Halus dengan $fc'=20$ MPa   | 3-19 |
| 3.19 Pemeriksaan Karakteristik Agregat Kasar dengan $fc'=20$ MPa   | 3-19 |
| 3.20 Proporsi Campuran dengan $fc'=20$ MPa                         | 3-20 |
| 3.21 Pengujian Tarik Tulangan Baja                                 | 3-20 |
| 3.22 Pengujian Kuat Tekan Beton Campuran I                         | 3-21 |
| 3.23 Pengujian Kuat Tekan Beton Campuran II                        | 3-21 |
| 3.24 Pengujian Kuat Tekan Beton Campuran III                       | 3-22 |
| 3.25 Kuat Tekan Karakteristik Beton Campuran I                     | 3-23 |
| 3.26 Kuat Tekan Karakteristik Beton Campuran II                    | 3-23 |
| 3.27 Kuat Tekan Karakteristik Beton Campuran III                   | 3-24 |
| 3.28 Faktor Umur Kuat Tekan Beton                                  | 3-25 |
| 3.29 Kuat Tekan Hammer Test  | 3-25 |
| 3.30 Uji Kuat Tarik Belah Beton Campuran I                         | 3-27 |
| 3.31 Uji Kuat Tarik Belah Beton Campuran II                        | 3-27 |
| 3.32 Uji Kuat Tarik Belah Beton Campuran III                       | 3-27 |
| 3.33 Hasil Kuat Geser Beton dengan Agregat Daur Ulang              | 3-30 |

|     |  |     |
|-----|--|-----|
| 4.1 | Hasil Pengujian Kuat Lentur Balok Beton Tanpa Tulangan                               | 4-2 |
| 4.2 | Perbandingan Nilai Kuat Lentur Beton dibagi $\sqrt{fc'}$                             | 4-3 |
| 4.3 | Data Hasil Pengujian Kuat Lentur Balok Beton Bertulang                               | 4-4 |
| 4.4 | Perbandingan Nilai Kuat Lentur Balok Bertulang Hasil Pengujian dan Hasil Perhitungan | 4-5 |
| 4.5 | Daktilitas Akibat Uji Lentur Pada Balok Beton Bertulang                              | 4-7 |
| 5.1 | Hasil Uji Lentur Pelat Beton Bertulang Daur Ulang                                    | 5-2 |
| 5.2 | Daktilitas Pelat Bertulang Beton dengan Agregat Daur Ulang                           | 5-5 |

## DAFTAR GAMBAR

- 1.1 Sarana dan Prasarana Olimpiade 2012 di London
- 2.1 Bidang Momen pada *Third Loading Bending Test*
- 2.2 Diagram Tegangan dan Regangan Penampang Persegi Empat Beton Bertulang
- 3.1 Agregat Kasar Daur Ulang dan Agregat Alami
- 3.2 Hubungan Beban dan Peralihan Benda Uji Tarik Tulangan Baja Ulir
- 3.3 Hubungan Beban dan Peralihan Benda Uji Tarik Tulangan Baja Polos
- 3.4 Uji Kuat Tekan dengan *Compression Testing Machine*
- 3.5 Grafik Perbandingan Kuat Tekan Terhadap Umur Beton
- 3.6 Uji kuat tarik belah dengan *CTM*
- 3.7 Grafik Perbandingan Kuat Tarik Belah Beton Terhadap Umur Beton
- 3.8 Perkembangan Kuat Tekan Beton
- 3.9 Perbandingan Kuat Tarik Belah Beton Terhadap Umur Beton
- 3.10 Perbandingan Nilai Kuat Tarik Belah dibagi  $\sqrt{f_c'}$
- 3.11 Uji Kuat Geser
- 3.12 Perbandingan Nilai Kuat Geser Belah dibagi  $\sqrt{f_c'}$
- 4.1 Pengujian Lentur Balok Beton Tanpa Tulangan dengan *UTM*
- 4.2 Grafik Perbandingan Kuat Lentur Balok Tanpa Tulangan
- 4.3 Pengujian Lentur Balok Beton Bertulang dengan *UTM*
- 4.4 Grafik Perbandingan Kuat Lentur Balok Beton Bertulang

- 4.5 Pola Retak Akibat Uji Lentur Pada Balok Beton Bertulang 0% RCA
  - 4.6 Pola Retak Akibat Uji Lentur Pada Balok Beton Bertulang 50% RCA
  - 4.7 Pola Retak Akibat Uji Lentur Pada Balok Beton Bertulang 100% RCA
- 5.1 Uji Lentur Pelat Beton Bertulang
  - 5.2 Hubungan Lendutan-Momen pada Uji Pelat Beton Bertulang campuran I
  - 5.3 Hubungan Lendutan-Momen pada Uji Pelat Beton Bertulang campuran II
  - 5.4 Hubungan Lendutan-Momen pada Uji Pelat Beton Bertulang campuran III
  - 5.5 Pola Retak Pelat Beton Bertulang
  - 5.6 Pola Retak dan Lepasnya Bongkahan Beton pada Benda Uji

## BAB 1

### Pendahuluan

#### 1.1 Latar Belakang

Industri konstruksi mengalami perkembangan yang sangat cepat dalam memenuhi kebutuhan manusia akan tempat tinggal, sarana, dan prasarana. Namun industri konstruksi berkontribusi menghasilkan sampah atau reruntuhan yang berdampak pada lingkungan. Jumlah sampah konstruksi ini demikian besar sehingga menjadi perhatian dunia untuk menjaga sumber alam yang ada dan mencari alternatif menggunakan material daur ulang, misalnya beton dengan agregat daur ulang.

Sekarang negara atau kota tertentu kadang mempunyai program modernisasi untuk jalan, jembatan, bangunan industri, dan prasarana lainnya, sehingga perlu meruntuhkan bangunan yang ada karena dianggap tidak cocok dengan proyek baru. Terutama di negara maju reruntuhan beton berasal dari beton dengan mutu cukup tinggi seperti rangka bangunan, balok jembatan, dan beton pracetak, sehingga menghasilkan sumber agregat daur ulang dengan kualitas yang berbeda.

Beberapa pengujian beton yang menggunakan agregat daur ulang sudah dilakukan sejak awal 1980. Meskipun ada perbedaan formula yang cukup berarti namun kesimpulan dari pengujian beton daur ulang yang sudah dilakukan perlu dipertimbangkan. Sifat beton dengan agregat daur ulang jika dibandingkan dengan beton yang menggunakan agregat natural misalnya kuat tekan menurun sebesar 10% - 30% dan kuat tarik lebih rendah tidak lebih dari 10%. (El-Reedy, 2009). Agregat daur ulang dapat digunakan sebagai pengganti agregat natural untuk campuran beton setelah dipilih dan disaring (Hansen. 1992; Collin, 1994 Sherwood, 1995). Kuat tekan karakteristik beton tidak dipengaruhi oleh kualitas agregat daur ulang jika rasio air/ semen besar, hanya berpengaruh pada rasio air/semen kecil ( Ryu, 2002 dan Padmini et al., 2002).

Material daur ulang termasuk beton daur ulang digunakan untuk pembangunan kompleks, gedung baru, dan jalan pada Olimpiade 2012. Inggris menegaskan bahwa Olimpiade London adalah Olimpiade yang paling berkelanjutan (Gambar 1.1). Pembangunan

berkelanjutan adalah proses pembangunan lahan, kota, bisnis, dan masyarakat yang berprinsip memenuhi kebutuhan sekarang tanpa mengorbankan kepentingan generasi masa depan. Belajar dari pengalaman olimpiade sebelumnya dimana stadion berkapasitas besar dan fasilitas lain tidak bisa digunakan maksimal lagi setelah pesta olimpiade berakhir.



Gambar 1.1 Sarana dan Prasarana Olimpiade 2012 di London ([www.Olimpiade](http://www.Olimpiade))

Agregat kasar maupun agregat halus daur ulang dipakai dalam penelitian ini. Agregat daur ulang berupa bekas benda uji silinder beton yang dipecah-pecah kemudian disaring sesuai dengan ukuran agregat maksimum yang dibutuhkan. Mutu Beton yang dipakai untuk perencanaan campuran beton terdiri dari dua bagian yaitu kuat tekan karakteristik ( $f'_c$ ) 25 MPa dan  $f'_c$  20 Mpa. Perencanaan campuran beton (*mix design*) dengan  $f'_c$  25 MPa terdiri dari 3 variasi. Campuran 1 menggunakan agregat natural semua, campuran 2 menggunakan 50% agregat kasar daur ulang dan agregat halus natural. Sedangkan campuran 3 menggunakan 100% agregat kasar daur ulang dan agregat halus natural. Perencanaan campuran beton dengan  $f'_c$  20 MPa juga terdiri dari 3 variasi. Campuran I menggunakan 100% agregat kasar daur ulang dan agregat halus natural, campuran II menggunakan 80% agregat kasar daur ulang dan 20% agregat halus daur ulang. Sedangkan campuran III menggunakan 60% agregat kasar daur ulang dan 40% agregat halus daur ulang. Kedua mutu beton dengan masing-masing variasi diuji kuat tekan dan kuat tarik belah dengan benda uji silinder pada umur beton 3, 7, 14, 21, dan 28 hari, kemudian diuji kuat geser dengan benda uji balok berukuran  $100 \times 100 \times 300 \text{ mm}^3$ . Uji lentur dilakukan terhadap 9 balok beton bertulang dan 9 pelat beton bertulang dengan masing-masing 3 buah untuk tiap campuran.

Balok beton bertulang berukuran  $200 \times 200 \times 1200$  mm<sup>3</sup> dengan  $f'_c$  25 MPa dan pelat beton bertulang berukuran  $500 \times 120 \times 1200$  mm<sup>3</sup> dengan  $f'_c$  20 MPa.

### **1.2 Tujuan Penelitian**

1. Mengetahui kuat tekan karakteristik beton dengan merencanakan campuran beton dengan cara ACI dan menggunakan agregat daur ulang.
2. Mengetahui perkembangan kuat tekan terhadap umur beton dengan agregat kasar daur ulang dan agregat halus daur ulang.
3. Mengetahui kuat tarik belah dan kuat geser beton daur ulang.
4. Mengetahui kuat lentur balok beton bertulang dengan agregat kasar daur ulang.
5. Mengetahui kuat lentur pelat beton bertulang dengan agregat daur ulang.
6. Mengetahui daktilitas balok beton bertulang dengan agregat kadar daur ulang.
7. Mengetahui daktilitas pelat beton bertulang dengan agregat kasar daur
8. Membandingkan kuat lentur dan daktilitas balok beton bertulang.
9. Membandingkan kuat lentur dan daktilitas pelat beton bertulang.

### **1.3 Ruang Lingkup**

- a) Benda uji silinder dan balok beton bertulang
  1. Mutu beton daur ulang 25 MPa
  2. Mutu baja tulangan lentur 364 Mpa
  3. Mutu baja tulangan geser 394 Mpa
  4. Ukuran agregat kasar maksimum 19 mm.
5. Campuran beton terdiri dari 3 variasi:
  - beton dengan agregat natural (campuran 1)
  - beton dengan 50% agregat kasar daur ulang dan agregat halus natural (campuran 2)

- beton dengan 100% agregat kasar daur ulang dan agregat halus natural (campuran 3).
6. Benda uji silinder berjumlah 81 dengan masing-masing 27 silinder tiap variasi campuran.
  7. Balok beton bertulang berjumlah 9 berukuran  $200 \times 200 \times 1200 \text{ mm}^3$  dengan bentang pengujian 1050 mm, masing-masing 3 balok tiap variasi campuran.
  8. Balok tanpa tulangan berjumlah 9 dengan ukuran  $200 \times 200 \times 700 \text{ mm}^3$  dengan bentang pengujian 600 mm, masing-masing 3 balok tiap variasi campuran.
  9. Benda uji geser balok tanpa tulangan berjumlah 9 dengan ukuran  $100 \times 100 \times 300 \text{ mm}^3$  dengan masing-masing 3 balok tiap variasi campuran.
  10. Tulangan lentur bawah 3-D11 dan tulangan atas 2-D11
  11. Tulangan geser d-10 @ 80 mm
  12. Pengujian kuat tekan dan kuat belah dengan *Compression Testing Machine*.
  13. Pengujian kuat lentur dengan UTM.
- b) Benda uji silinder dan pelat beton bertulang
1. Mutu beton daur ulang 20 MPa
  2. Mutu baja tulangan lentur 400 MPa
  3. Ukuran agregat kasar maksimum 25 mm.
  4. Campuran beton terdiri dari 3 variasi:
    - beton dengan 100% agregat kasar daur ulang dan agregat halus natural (campuran I)
    - beton dengan 80% agregat kasar daur ulang dan 20% agregat halus daur ulang (campuran II)
    - beton dengan 60% agregat kasar daur ulang dan 40% agregat halus daur ulang (campuran III).

5. Benda uji silinder berjumlah 81 dengan masing-masing 27 silinder tiap variasi campuran.
6. Benda uji pelat beton bertulang berjumlah 9 dengan ukuran  $500 \times 120 \times 1200$   $\text{mm}^3$  dengan bentang pengujian 1050 mm, masing-masing 3 pelat tiap variasi campuran.
7. Benda uji geser balok tanpa tulangan berjumlah 9 dengan ukuran  $100 \times 100 \times 300$   $\text{mm}^3$  dengan masing-masing 3 balok tiap variasi campuran.
8. Tulangan lentur positif d10 @125 mm dan tulangan atas d5 @187,5 mm.
9. Pengujian kuat tekan dan kuat belah dengan *Compression Testing Machine*.
10. Pengujian kuat lentur dengan UTM.

#### **1.4 Metode Penelitian**

Metode penelitian adalah eksperimen di laboratorium.

## BAB 2

### Studi Pustaka

#### 2.1 Beton Sebagai Bahan Bangunan

Beton adalah bahan bangunan yang paling banyak digunakan pada dunia modern ini. Bangunan dari beton diantaranya gedung, jalan raya, jembatan, jalan kereta api, bendungan, pipa saluran, fondasi, dan lain-lain. Kata beton atau *concrete* berasal dari bahasa latin *concretus* berarti tumbuh bersama atau menggabungkan menjadi satu. Beton adalah bahan komposit yang cukup rumit, terdiri dari agregat berfungsi sebagai bahan pengisi (*filler*) dan pasta semen berfungsi sebagai bahan pengikat (*binder*). Sering ditambahkan bahan kimia (*admixture*) untuk memperbaiki atau mengubah sifat-sifatnya sesuai dengan yang kita inginkan.

Tabel 2.1 Definisi Beton

|             |   |
|-------------|---|
| Beton       | = bahan pengisi + bahan pengikat          |
| Beton       | = agregat (kasar dan halus) + pasta semen |
| Mortar      | = agregat halus + pasta semen             |
| Pasta semen | = semen + air                             |

Meskipun beton dapat dibuat dengan mudah tetapi dalam merencanakan campuran beton perlu pengetahuan teknologi beton yang cukup untuk menghasilkan beton baik. Pada umumnya beton mempunyai komposisi pasta semen hanya sebesar 20 – 35% terhadap volume total beton tapi sangat memegang peranan penting terutama untuk perbandingan berat antara air/semen. Semakin besar rasio berat air/semen maka semakin berkurang kekuatan beton sedang agregat mengisi volume beton sebesar 65 – 80%. Semen yang digunakan untuk beton mempunyai banyak tipe dan jenisnya dengan komposisi kimia yang berbeda. Sedangkan agregat mempunyai ukuran, bentuk, gradasi, kekerasan, berat jenis yang berbeda. Sehingga dalam merencanakan campuran beton perlu diperhatikan sifat-sifat bahan dasar tersebut karena bisa mempengaruhi kekuatan beton. Selain

pengendalian mutu bahan, diperlukan juga pengendalian selama pelaksanaan dan pengendalian perawatan selama masa pengerasan supaya menghasilkan beton berkualitas baik sesuai yang disyaratkan, seragam, dan ekonomis.

Beton mempunyai kuat tekan jauh lebih besar dibandingkan kuat tariknya. Sehingga selalu diperlukan perkuatan tulangan baja pada daerah tariknya menjadi beton bertulang untuk struktur bangunan. Beton bertulang bisa dipakai untuk hampir semua bangunan termasuk struktur yang lebih berat. Sedang beton non-struktural bisa digunakan untuk beton isolasi dan beton arsitektural.

## 2.2 Sifat Agregat

Kualitas agregat sangat berpengaruh terhadap sifat-sifat beton segar maupun beton keras karena agregat menempati sekitar 65 - 80% volume beton. Agregat sebagai bahan pengisi (*filler*) bertujuan supaya beton lebih ekonomis, memiliki kestabilan volume, dan tahan lama. Sifat beton keras secara langsung berkaitan dengan sifat agregat seperti modulus elastisitas, kekuatan, dan lain-lain (Tabel 2.2). Agregat dibagi menjadi agregat kasar dan agregat halus dengan batasan butiran berukuran lebih kecil dari 4,75 mm (saringan ASTM no 4) termasuk agregat halus. Agregat halus biasanya menempati sekitar 25 – 65% volume total agregat. Persentase pasir yang banyak menghasilkan beton dengan kepadatan rendah dan membutuhkan air banyak sedangkan persentase pasir yang sedikit atau kelebihan agregat kasar bisa menyebabkan beton keropos.

Sifat-sifat agregat yang diperlukan untuk merencanakan perbandingan campuran beton adalah ukuran, bentuk, gradasi, kadar air, berat jenis relatif, dan berat isi. Agregat dari batuan yang dipecah membutuhkan lebih banyak pasta semen dari pada agregat alami. Jumlah agregat kasar dengan butiran memanjang dan pipih perlu dibatasi karena membutuhkan banyak pasta semen dan lebih sulit dipadatkan sehingga sukar terjadi ikatan antar aggregatnya.

Tabel 2.2 Sifat Beton Keras Berkaitan dengan Sifat Agregat

| Sifat Beton | Sifat Agregat yang berkaitan |
|-------------|------------------------------|
| Keawetan    |                              |

|  |   |
|--|---|
| <ul style="list-style-type: none"> <li>• Ketahanan terhadap pembekuan</li> <li>• Ketahanan terhadap abrasi</li> <li>• Reaksi alkali-agregat</li> </ul> | Kekekalan bentuk, porositas, kuat tarik, tekstur, mineral lempung<br><br>Kekerasan<br><br>Mengandung silika reaktif |
| Kekuatan   | Kekuatan, ukuran butir maksimum, tekstur permukaan, kebersihan, bentuk butiran                                      |
| Susut dan rangkak  | Modulus elastisitas, bentuk butiran, gradasi, kebersihan, ukuran butir mak., mineral lempung                        |
| Panas jenis  | Panas jenis   |
| Berat isi  | Berat jenis relatif, gradasi, bentuk butiran, ukuran butir mak.   |
| Modulus elastisitas  | Modulus elastisitas, rasio Poisson  |

Gradasi adalah distribusi ukuran agregat. Gradasi menentukan rasio berat air/semen atau jumlah semen yang digunakan supaya menghasilkan campuran beton yang mudah dikerjakan. Gradasi baik jika susunan butirnya sepadat mungkin dan ruang udaranya minimal sehingga dibutuhkan pasta semen minimal pula. Akibatnya biaya pembuatan beton bisa lebih murah mengingat semen adalah bahan pembuat beton yang paling mahal. Dalam praktek, gradasi dinyatakan dalam suatu angka yang disebut Modululus Kehalusinan (FM). Semakin besar angka FM berarti semakin banyak butir berukuran besar. *British Standard* menggunakan gradasi dengan daerah zone 1 – 4 untuk agregat halus, dimana agregat yang masuk daerah zone 1 adalah pasir sangat halus sedangkan zone 4 adalah pasir dengan ukuran besar.

Ukuran maksimum agregat kasar ditentukan oleh pekerjaan pembetonan di lapangan. Ukuran maksimum agregat kasar tidak boleh melebihi 1/5 dari tebal elemen

beton terkecil yang bersangkutan, juga memperhatikan jarak tulangan. Ukuran maksimum agregat kasar mempengaruhi jumlah kebutuhan air dan semen. Menurut ASTM C125, ukuran maksimum agregat kasar adalah ukuran lubang ayakan terkecil yang dapat dilewati oleh semua butiran sampel agregat. Pembetonan dengan massa besar seperti bendungan bisa menggunakan ukuran agregat 15 cm atau lebih , demikian juga dengan fondasi bisa memakai agregat dengan ukuran 4 – 8 cm. Untuk beton normal digunakan ukuran maksimum agregat kasar 38,1 mm (1 ½ in.) atau lebih kecil.

Kadar air dan daya serap agregat perlu diketahui karena mempengaruhi banyaknya air yang dibutuhkan untuk campuran beton. Agregat kering yang belum jenuh air akan menyerap air dari pasta semen sehingga menurunkan rasio air/semen dari rencana semula. Sebaliknya jika ada air yang melapisi permukaan agregat akan menambah air pada pasta semennya sehingga menaikkan rasio air/semen dan memudahkan pengerajan beton. Kondisi SSD biasanya dipakai sebagai referensi untuk perencanaan campuran beton. Agregat dalam kondisi SSD (*Saturated Surface Dry*) adalah kondisi dimana pori-pori agregat dalam kondisi jenuh tapi permukaannya kering. Oleh karena itu diperlukan koreksi pada perencanaan campuran beton yang tergantung pada selisih antara harga kadar air dan daya serap agregat supaya sesuai dengan jumlah yang direncanakan semula.

### **2.3 Beton Daur Ulang**

Beton daur ulang sudah dikenal cukup lama dalam rangka menjawab tantangan akan banyaknya limbah industri konstruksi dan menjaga sumber daya alam. Di beberapa negara agregat alami harganya mahal dan limbah industri harus dikirim ke tempat TPA yang membutuhkan biaya penanganan dan pengangkutannya. Beberapa pengujian beton yang menggunakan agregat daur ulang sudah dilakukan sejak awal 1980. Meskipun ada perbedaan formula yang cukup berarti namun kesimpulan dari pengujian beton daur ulang yang sudah dilakukan perlu dipertimbangkan. Sifat beton dengan agregat daur ulang jika dibandingkan dengan beton yang menggunakan agregat alami antara lain: (a). Kuat tekan menurun sebesar 10% - 30%. (b). Kuat tarik lebih rendah tidak lebih dari 10%. (c). Modulus elastisitas menurun sebesar 10% - 40 % tergantung dari sumber agregat kasarnya. (d). Susut lebih besar 20% - 55% sedangkan *creep* lebih kecil hingga 10% (El-Reedy, 2009).

CMRA (*Construction Materials Recycling association*) adalah salah satu asosiasi yang mempromosikan limbah konstruksi daur ulang. Amerika sendiri sudah melakukan daur

ulang beton sebesar 140 juta ton tiap tahunnya dengan memanfaatkan reruntuhan struktur atau jalan raya. *California Department of General Services* 2011 mengeluarkan peraturan yang cukup ketat dan batasan tentang beton daur ulang berhubung banyaknya limbah beton yang ada. Diantara peraturan dan pembatasan itu menyatakan agregat beton daur ulang atau *Recycled Concrete Aggregates* (RCA) adalah agregat yang terbentuk dari proses pemecahan, pengukuran, pencucian, dan pemilihan dari beton keras yang ada. RCA tidak diijinkan untuk digunakan pada beton struktur tapi dapat diaplikasikan pada beton non struktural seperti batas jalan, *pavement*, *landscape*, dan sejenisnya.

Pusat Komunikasi Publik Kementerian PU baru-baru ini melaporkan bahwa kebutuhan penambahan infrastruktur jalan, khususnya pembangunan dan pemeliharaannya tidak bisa diimbangi oleh kemampuan pemerintah. Saat ini pemerintah hanya mampu mendanai 17% saja. Terkait dengan keterbatasan dana maka diperlukan inovasi baru untuk merehabilitasi jalan. Salah satu alternatifnya adalah menggunakan beton dengan agregat daur ulang. Teknologi daur ulang perkerasan mempunyai beberapa keuntungan yaitu dapat mengembalikan kekuatan perkerasan dan mempertahankan geometrik jalan serta mengatasi ketergantungan akan material baru. Inovasi ini telah dikembangkan oleh Pusat Litbang Jalan dan Jembatan Badan Litbang PU. Saat ini telah banyak ruas jalan yang dibangun dengan perkerasan kaku (*rigid pavement*) berupa perkerasan beton sehingga penggunaan daur ulang limbah beton akan bermanfaat.

#### **2.4 Perencanaan Campuran Beton**

Perencanaan campuran (*mix desain*) mempunyai tujuan untuk mendapatkan proporsi masing-masing bahan untuk menghasilkan beton berkualitas dan ekonomis. Bahan tersebut biasanya adalah air, semen, pasir, dan batu pecah untuk beton normal tanpa bahan tambahan. Sebelum perencanaan campuran perlu diketahui beberapa hal penting misalnya jenis struktur, kondisi lingkungan, kuat rencana, jenis semen , kualitas air, sifat agregat, dan lain lain. Sifat agregat meliputi gradasi, kadar air, daya serap, berat jenis relatif, ukuran butir terbesar. Kemudian dapat dihitung dengan metode tertentu seperti: (1). ACI (*American Concrete Institute*) (2). DOE (*British Department of Enviroment*) (3). Nisco Master (Jepang). Perencanaan dengan metode DOE dipakai di Indonesia dan dimuat dalam buku ‘Tata Cara Pembuatan Rencana Campuran Beton’ SK.SNI.T-15-1990-03. Hasil proporsi bahan campuran dengan berbagai metode biasanya berdasarkan agregat dalam kondisi SSD, sehingga perlu

dikoreksi lagi mengingat kondisi agregat di lapangan sudah dipastikan tidak dalam kondisi SSD. Berdasarkan hasil *mix design* maka dapat dihitung proporsi masing-masing campuran sesuai dengan jumlah benda uji yang diperlukan.

Dalam penelitian ini, perencanaan campuran beton menggunakan metode ACI 211.1 – 91 untuk beton normal dengan kuat tekan karakteristik sebesar 20 MPa dan 25 Mpa.

## 2.5 Kuat Tekan Beton

Pada peraturan beton Indonesia yang baru (SNI 03-2847-2002), kekuatan material beton dinyatakan oleh kuat tekan benda uji berbentuk silinder ( $f_c'$ ) dengan satuan Mpa. Perubahan dari  $K$  menjadi  $f_c'$  atau dari benda uji kubus menjadi silinder, disebabkan karena SNI mengacu pada peraturan ACI 318. Benda uji silinder yang dimaksud memiliki diameter 15 cm, tinggi 30 cm, dan berumur 28 hari.

Benda uji dibuat terutama untuk mengevaluasi apakah campuran beton mencapai kuat rencana. Beton segar yang telah dicetak, perlu perawatan selama 24 jam pertama baru acuan bisa dilepas dan biasanya direndam dalam air. Pengujian kuat tekan dilakukan pada umur beton hari ke 3, 7, 14, 21, dan 28 dengan menggunakan standar ASTM C 39 (*American Society for Testing Material*). Pengujian kuat tekan juga untuk memperkirakan kuat yang lain seperti kuat lentur dan kuat tarik beton. Perhitungan kuat tekan beton menggunakan persamaan:

$$f_c = \frac{P}{A} \quad (2.1)$$

dengan:

$f_c$  = Kuat tekan beton (MPa)

$P$  = Beban hancur (N)

A = Luas penampang tertekan rata-rata ( $\text{mm}^2$ )

## 2.6 Kuat Tarik Belah Beton

Pengujian kuat tarik belah beton dilakukan dengan memberikan tegangan tarik pada benda uji silinder yang dioperasikan menggunakan alat *Compression Testing Machine (CTM)*.

Kuat tarik beton dapat dihitung dengan persamaan:

$$f_{ct} = \frac{2.P}{\pi.l.d} \quad (2.2)$$

dengan:

$f_{ct}$  = Kuat tarik belah (MPa)

$P$  = Beban hancur (N)

$l$  = Panjang benda uji pada bagian yang tertekan (mm)

$d$  = Diameter benda uji (mm)

## 2.7 Kuat Geser Beton

Pengujian kuat geser bertujuan untuk mengetahui besaran nilai kekuatan geser dari balok beton kemudian dibandingkan dengan hasil perhitungan secara analitis. Pengujian dilakukan dengan menggunakan CTM dan dihitung memakai persamaan:

$$f_v = \frac{P}{A} \quad (2.3)$$

dengan:

$f_v$  = Kuat geser beton (MPa)

P = Beban hancur (N)

A = Luas penampang ( $\text{mm}^2$ )

## 2.8 Kuat Lentur Beton (*Modulus Of Rupture*)

Pengujian kuat lentur menggunakan benda uji balok tanpa tulangan pada umur beton 28 hari. Pembebanan dilakukan pada 1/3 bentang untuk mendapatkan lentur murni. Kuat lentur beton dapat dihitung menggunakan persamaan berikut:

$$R = \frac{P L}{b d^2} \quad (2.4)$$

dengan:

R = Kuat lentur (MPa)

P = Beban maksimum (N)

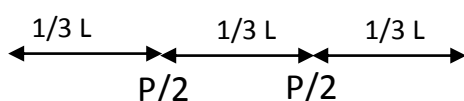
L = Panjang bentang pengujian (mm)

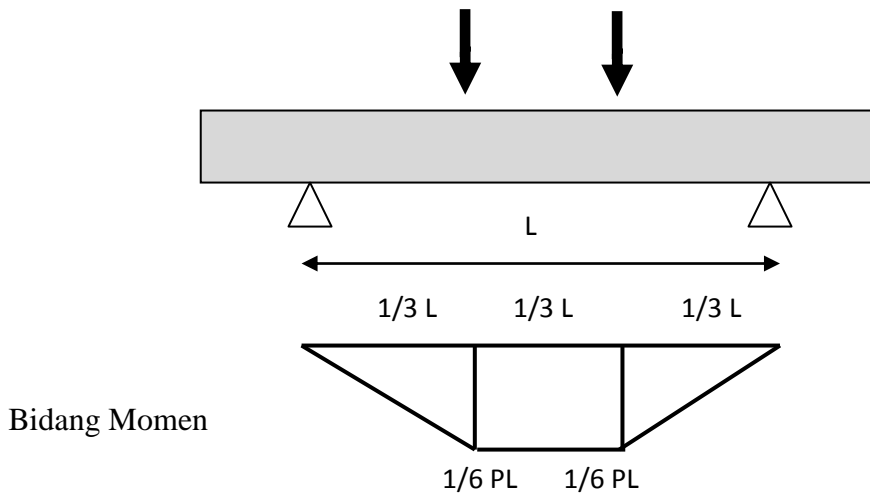
b = Lebar benda uji (mm)

d = Tinggi benda uji (mm)

## 2.9 Kuat Lentur Balok dan Pelat Beton Bertulang

Lentur pada balok maupun pelat diakibatkan oleh regangan yang timbul karena adanya beban luar. Apabila beban bertambah maka struktur akan mengalami deformasi dan regangan tambahan yang mengakibatkan retak disepanjang bentang balok atau pelat. Bila beban semakin bertambah, akhirnya terjadi keruntuhan pada elemen struktur.





Gambar 2.1 Bidang Momen pada *Third Loading Bending Test*

Pada uji kuat lentur balok maupun pelat digunakan sistem pembebanan *third loading bending test* yang dapat dilihat pada Gambar 2.1 dimana pembebanan masing-masing diletakan pada sepertiga dari jarak tumpuan. Pengujian lentur menggunakan alat UTM dengan umur beton 28 hari. Rumus perhitungan momen untuk sistem pembebanan *third loading bending test*.

$$M = \frac{1}{6}PL \quad (2.5)$$

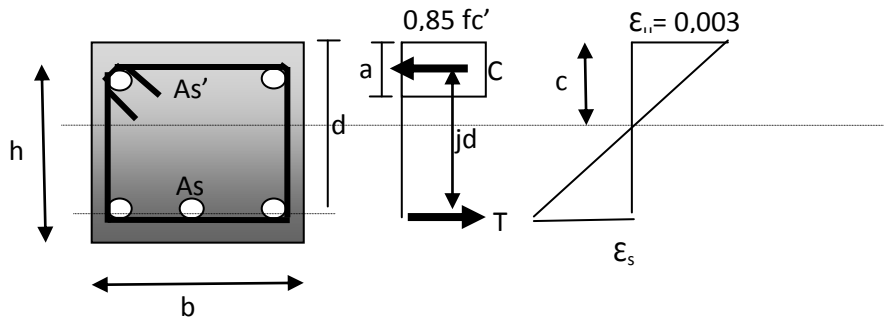
dengan :

$M$  = Momen (kNm)

$P$  = Beban (kN)

$L$  = Panjang Bentang (m)

## 2.10 Analisis Penampang Persegi Panjang Beton Bertulang



Gambar 2.2 Diagram Tegangan dan Regangan Penampang Persegi Panjang Beton Bertulang

Struktur menerima momen lentur dan gaya geser akibat beban yang bekerja. Pada kondisi seimbang besarnya gaya Tarik (T) pada baja tulangan sama dengan nilai tekan (C) pada beton. Gaya tarik pada tulangan dapat dihitung dengan persamaan :

$$C = T \quad (2.6)$$

$$T = As \cdot fs \quad (2.7)$$

dengan:

$T$  = Gaya Tarik

$As$  = Luas Baja Tulangan

$fs$  = Tegangan Baja

$$C = 0,85 \cdot fc' \cdot a \cdot b \quad (2.8)$$

dengan:

$C$  = Gaya Tekan

$fc'$  = Kuat Tekan Silinder Beton

$a$  = Tinggi Ekuivalen dari *Rectangular Stress Block*

$b$  = Lebar Penampang

Jarak antara gaya C dan T adalah:

$$Jd = d - 0,5 a \quad (2.9)$$

Momen yang terjadi pada penampang dapat dihitung dengan persamaan:

$$M = T \cdot Jd = C \cdot Jd \quad (2.10)$$

## 2.11 Evaluasi Kuat Tekan Beton

Perencana struktur biasanya menentukan kuat tekan beton dalam mendesain kekuatan elemen struktur beton bertulang. Kuat tekan itu disebut kuat tekan beton karakteristik atau kuat tekan beton yang disyaratkan  $f'_c$ , berdasarkan benda uji silinder diameter 150 mm dan tinggi 300 mm (SNI 03-2834-2002). Karena sifat variabilitas kekuatan beton atau distribusi beton berbentuk lengkung distribusi normal, maka perencana struktur tidak menggunakan hasil kuat tekan rata-rata yang ditargetkan ( $f_{cr}'$ ). Sehingga desain campuran harus ditargetkan untuk mencapai kuat tekan rata-rata yang lebih tinggi dari kuat tekan karakteristik. Selisihnya disebut margin kekuatan (k.s) yang besarnya ditentukan dari simpangan baku (*standart deviation*), hasil dari produksi beton sebelumnya dan proporsi benda uji yang diijinkan gagal.

$$f'_c = f_{cr}' - k \cdot s \quad (2.11)$$

dengan:

$f'_c$  = Kuat tekan karakteristik (MPa)

$f_{cr}'$  = Kuat tekan rata-rata yang ditargetkan (MPa)

k = konstanta (=1,64 untuk 5% benda uji yang diijinkan gagal)

s = Simpangan baku (MPa)

Persamaan regresi untuk kuat tekan beton adalah:

$$Y = \frac{x}{a \cdot x + b} \quad (2.12)$$

dimana:

$$a = \frac{\sum(xy) - n \cdot x_{\text{rata-rata}} \cdot y_{\text{rata-rata}}}{\sum(x^2) - n \cdot (x_{\text{rata-rata}})^2} \quad (2.13)$$

$$b = y_{\text{rata-rata}} - a \cdot x_{\text{rata-rata}} \quad (2.14)$$

$$y = \frac{x}{F} \quad (2.15)$$

dengan:

$Y$  = Kuat tekan untuk setiap umur beton (MPa)

$y$  = Perbandingan umur beton terhadap kuat tekan rata-rata

$n$  = Jumlah hari pengujian

$x$  = Umur beton (hari)

$F$  = Kuat tekan rata-rata (MPa)

## 2.12 Daktilitas

Sifat mekanik bahan biasanya dibagi menjadi *ductile materials* dan *brittle materials*.

*Ductile materials* adalah bahan yang dapat mulur dengan regangan besar, misal baja dan aluminium. Sedangkan *brittle materials* adalah bahan yang mempunyai regangan kecil , misal beton dan tembaga. Sifat getas beton karena kekuatan tariknya sangat rendah dibandingkan kuat tekannya. Hal ini menjadi kelemahan beton sebagai bahan bangunan sehingga untuk memperkuat dibutuhkan tulangan baja pada daerah tariknya. Bahan dengan daktilitas rendah seperti beton artinya bangunan dapat runtuh tanpa timbulnya regangan besar terlebih dahulu.



## BAB 3

### Karakteristik Beton

#### 3.1 Pengujian Beton Keras

Beton terdiri dari bahan yang komposit, tidak homogen, unisotropis, dan berasal dari alam sehingga kekuatan beton yang dihasilkan mempunyai kecenderungan bervariasi antara hasil adukan satu dengan lainnya. Maka diperlukan pengawasan terhadap mutu beton dengan mengambil contoh adukan yang kemudian dibuat benda uji silinder. Pengujian beton di lapangan terutama dilakukan untuk pengujian kuat tekan. Untuk mengetahui karakteristik beton lainnya, maka dalam penelitian ini dilakukan pengujian kuat tarik belah, dan pengujian kuat geser balok dengan kuat tekan karakteristik 25 Mpa dan 20 Mpa. Pengujian terhadap lentur dilakukan juga terhadap balok dan pelat, dimana pembahasannya ada dalam bab selanjutnya.

#### 3.2 Pengujian Beton dengan Kuat Tekan Karakteristik 25 Mpa

Pengujian kuat tekan dan kuat tarik belah dilakukan dengan benda uji silinder. Campuran beton menggunakan semen PCC tipe 1 Tiga Roda, agregat halus/pasir beton, agregat kasar batu pecah alami, dan agregat kasar daur ulang yang diambil dari bekas benda uji di Laboratorium Struktur, dimana ukuran agregat kasar maksimum 19 mm.



Gambar 3.1 Agregat Kasar: Daur Ulang (kiri) dan Alami (kanan)

##### 3.2.1 Benda Uji

Empat jenis pengujian kekuatan dilakukan terhadap benda uji dengan kuat tekan karakteristik beton ( $f'_c$ ) 25 Mpa:

- Benda uji silinder untuk uji kuat tekan dan tarik belah dengan diameter 15 cm dan tinggi 30 cm. Pengujian kuat tekan untuk masing-masing variasi campuran berjumlah 15 buah dan pengujian tarik belah untuk masing-masing campuran 1, 2, dan 3 berturut-turut sebanyak 9, 13, dan 15 buah benda uji.
- Balok untuk uji kuat geser dengan ukuran  $100 \times 100 \times 300 \text{ mm}^3$  untuk masing-masing variasi campuran berjumlah 3 buah.
- Balok beton bertulang  $200 \times 120 \times 1200 \text{ mm}^3$ , dengan bentang uji 1050 mm. Benda uji balok untuk masing-masing variasi 3 buah, digunakan untuk menguji kuat lentur dan daktilitas. Baja polos dengan diameter 10 mm digunakan untuk sengkang dan baja ulir berdiameter 11 mm.

### **3.2.2 Pemeriksaan Agregat dan Perencanaan Campuran dengan $f'_c = 25 \text{ MPa}$**

Pemeriksaan karakteristik agregat halus dan agregat kasar dilakukan terhadap tiga variasi campuran, yaitu campuran 1 dengan 0% RCA (*Recycled Concrete Aggregate*), campuran 2 dengan 50 % RCA, dan campuran 3 dengan 100% RCA. Hasil pemeriksaan agregat menghasilkan data yang berbeda pada setiap campuran sebagai berikut:

Tabel 3.1 Pemeriksaan Karakteristik Agregat Halus

| No. | Jenis Pengujian         | Satuan | Hasil Pengujian Agregat Halus |            |            |
|-----|-------------------------|--------|-------------------------------|------------|------------|
|     |                         |        | Campuran 1                    | Campuran 2 | Campuran 3 |
| 1   | Kadar Air               | %      | 7,820                         | 7,527      | 9,890      |
| 2   | Daya serap              | %      | 4,581                         | 3,898      | 4,167      |
| 3   | <i>Spesific gravity</i> |        | 2,308                         | 2,552      | 2,560      |
| 4   | Modulus kehalusan       | %      | 2,714                         | 2,872      | 2,946      |

Tabel 3.2 Pemeriksaan Karakteristik Agregat Kasar

| No. | Jenis Pengujian | Satuan            | Hasil pengujian Agragat kasar |                       |                        |
|-----|-----------------|-------------------|-------------------------------|-----------------------|------------------------|
|     |                 |                   | Campuran 1<br>0% RCA          | Campuran 2<br>50% RCA | Campuran 3<br>100% RCA |
| 1   | Kadar Air       | %                 | 2,302                         | 3,359                 | 4,715                  |
| 2   | Daya serap      | %                 | 2,961                         | 5,404                 | 7,242                  |
| 3   | Berat isi padat | kg/m <sup>3</sup> | 1507,60                       | 1461,90               | 1371,98                |
| 4   | Abrasi          | %                 | 20,78                         | 26,30                 | 29,66                  |

Kadar air dan daya serap agregat kasar meningkat seiring meningkatnya persentase agregat kasar alami yang digantikan agregat kasar daur ulang. Sedangkan berat isi menunjukkan penurunan nilai seiring meningkatnya persentase agregat kasar daur ulang. Nilai abrasi pada agregat kasar meningkat yaitu 20,78% untuk campuran 1 dengan 0% RCA (*Recycled Concrete Aggregate*), 26,30% untuk campuran 2 dengan 50% RCA, dan 29,66% untuk campuran 3 dengan 100% RCA. Persentase abrasi tidak lebih dari 45% sehingga material lolos uji abrasi dan dapat dipakai sebagai material beton.

Dari data pemeriksaan karakteristik agregat kasar dan agregat halus dilakukan perencanaan campuran (*mix design*) beton normal dengan metode ACI 211.1 – 91 basis massa untuk mendapatkan proporsi air, semen, agregat halus, dan agregat kasar. Semua campuran membutuhkan air yang sama dalam kondisi agregat SSD yaitu 205 (kg/m<sup>3</sup>) sehingga dapat dibandingkan antar campurannya. Agregat berasal dari alam sehingga ada selisih antara kadar air dan daya serapnya, oleh karena itu perlu dilakukan koreksi berat air, agregat halus, agregat kasar (Tabel 3.3).

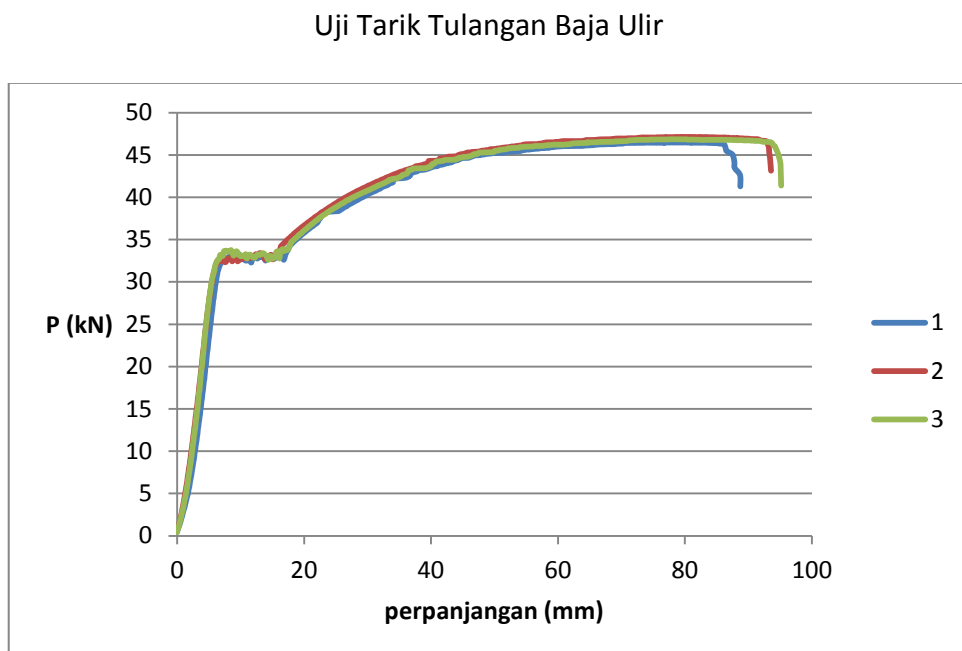
Tabel 3.3 Proporsi Campuran

| No. | Proporsi campuran (kg/m <sup>3</sup> ) | Campuran 1<br>0% RCA | Campuran 2<br>50% RCA | Campuran 3<br>100%RCA |
|-----|--|----------------------|-----------------------|-----------------------|
|     |  |                      |                       |                       |

|   |               |         |         |         |
|---|---------------|---------|---------|---------|
| 1 | Air Koreksi   | 188,224 | 196,169 | 180,34  |
| 2 | Semen         | 418,367 | 418,367 | 418,367 |
| 3 | Agregat kasar | 971,652 | 925,944 | 869,757 |
| 4 | Agregat halus | 766,756 | 804,52  | 876,535 |

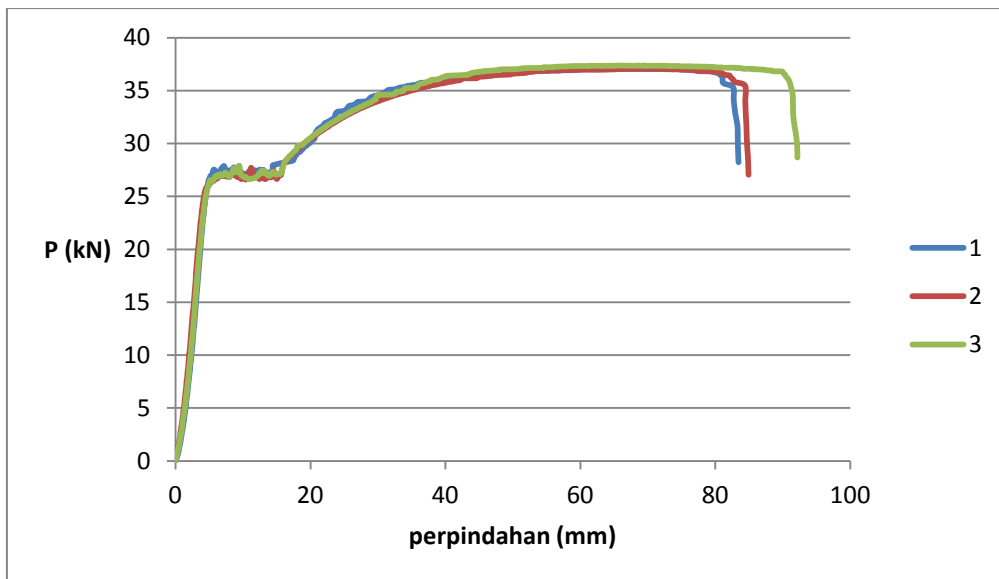
### 3.2.3 Pemeriksaan Baja Tulangan

Pemeriksaan baja tulangan dilakukan untuk mengetahui tegangan tarik yang dimiliki oleh baja. Baja polos diameter 10 cm digunakan untuk sengkang balok dan baja ulir diameter 11 cm untuk penulangan balok lainnya. Pengujian dilakukan pada tulangan baja polos maupun tulangan baja ulir. Tegangan tarik tulangan baja dapat diketahui dengan cara membagi beban maksimum dengan luas rata-rata tulangan baja.



Gambar 3.2 Hubungan Beban dengan Peralihan Tulangan Baja Ulir

### Uji Tarik Tulangan Baja Polos



Gambar 3.3 Hubungan Beban dengan Peralihan Tulangan Baja Polos

Dari Pengujian tulangan baja terlihat bahwa nilai tegangan leleh dan ultimet kurang lebih sama. Hasil pengujian akan diambil nilai rata-ratanya dari ketiga nilai tegangan leleh tulangan baja ulir maupun polos yang untuk selanjutnya digunakan dalam perhitungan. Nilai rata-rata  $f_y$  adalah 364 MPa untuk tulangan ulir dan 394 MPa untuk tulangan polos (Tabel 3.4 dan 3.5).

Tabel 3.4 Pengujian Tarik Tulangan Ulir

| Nomor Tulangan | D (mm) | Py (N) | Pu (N) | $f_y$ (MPa) | $f_u$ (MPa) |
|----------------|--------|--------|--------|-------------|-------------|
| 1              | 10,64  | 32675  | 46480  | 367         | 523         |
| 2              | 10,64  | 32258  | 47140  | 363         | 530         |
| 3              | 10,67  | 32926  | 46700  | 368         | 522         |
| 4              | 10,73  | 32305  | 46860  | 358         | 519         |
| 5              | 10,63  | 32098  | 46150  | 362         | 521         |
| 6              | 10,70  | 32826  | 45850  | 365         | 510         |

Tabel 3.5 Pengujian Tarik Tulangan Polos

| Nomor Tulangan | D (mm) | Py (N)  | Pu (N) | $f_y$ (MPa) | $f_u$ (MPa) |
|----------------|--------|---------|--------|-------------|-------------|
| 1              | 9,35   | 27062,6 | 37070  | 394         | 540         |
| 2              | 9,35   | 27107,5 | 37090  | 395         | 540         |

|   |      |         |       |     |     |
|---|------|---------|-------|-----|-----|
| 3 | 9,35 | 26923,2 | 37370 | 392 | 545 |
|---|------|---------|-------|-----|-----|

Tabel 3.6 Data Uji Baja Tulangan Ulir Balok Beton

| Percentase RCA | Kode sampel | Nomor Tulangan | D (mm) | Py (N) | Pu (N) | f <sub>y</sub> (MPa) | f <sub>u</sub> (MPa) |
|----------------|-------------|----------------|--------|--------|--------|----------------------|----------------------|
| 0%             | 1-A         | 3              | 10,67  | 32926  | 46700  | 368                  | 522                  |
|                | 1-B         | 4              | 10,73  | 32305  | 46860  | 358                  | 519                  |
|                | 1-C         | 5              | 10,63  | 32098  | 46150  | 362                  | 521                  |
| 50%            | 2-A         | 3              | 10,67  | 32926  | 46700  | 368                  | 522                  |
|                | 2-B         | 5              | 10,63  | 32098  | 46150  | 362                  | 521                  |
|                | 2-C         | 6              | 10,70  | 32826  | 45850  | 365                  | 510                  |
| 100%           | 3-A         | 4              | 10,73  | 32305  | 46860  | 358                  | 519                  |
|                | 3-B         | 1              | 10,64  | 32675  | 46480  | 367                  | 523                  |
|                | 3-C         | 2              | 10,64  | 32258  | 47140  | 363                  | 530                  |

### 3.2.4 Uji Kuat Tekan dengan $f'_c = 25$ Mpa

Setelah dilakukan pengadukan campuran, pengujian *slump* dan perawatan beton kemudian dilakukan pengujian kuat tekan pada umur beton 3, 7, 14, 21, dan 28 hari untuk ketiga jenis campuran. Pengujian kuat tekan menggunakan alat *Compression Testing Machine (CTM)* dengan memberi *capping* terlebih dahulu pada permukaan silinder agar beban terdistribusi merata.

Pembebanan dilakukan sampai benda uji hancur atau pada beban maksimum (Gambar 3.4) kemudian dihitung kuat tekan beton dengan persamaan 2.2. Sehingga didapat kuat tekan rata-rata untuk umur beton 3, 7, 14, 21, dan 28 hari (Tabel 3.7, 3.8, dan Tabel 3.9).



Gambar 3.4 Uji Kuat Tekan dengan *Compression Testing Machine*

Tabel 3.7 Data Hasil Uji Kuat Tekan Beton Campuran 1 dengan 0% RCA

| No. | Nomor Pembuatan | Umur | D (mm) | L (mm) | W (gr) | Luas Penampang ( $\text{mm}^2$ ) | P (N)  | $f_c$ (MPa) | Kuat Tekan Rata-rata (MPa) |
|-----|-----------------|------|--------|--------|--------|----------------------------------|--------|-------------|----------------------------|
| 1   | I-1             | 3    | 150,7  | 300,0  | 11847  | 17824,93                         | 199500 | 11,19       | 13,47                      |
| 2   | II-2            | 3    | 151,4  | 301,0  | 12556  | 17990,96                         | 283400 | 15,75       |                            |
| 3   | III-1           | 5    | 150,0  | 300,3  | 11968  | 17671,44                         | 333600 | 18,88       | 18,88                      |
| 4   | I-2             | 7    | 151,0  | 301,0  | 12220  | 17907,85                         | 309100 | 17,26       |                            |
| 5   | II-2            | 7    | 150,5  | 300,5  | 12349  | 17777,63                         | 326300 | 18,35       | 18,63                      |
| 6   | III-2           | 7    | 150,0  | 300,0  | 11904  | 17671,44                         | 358500 | 20,29       |                            |
| 7   | I-3             | 14   | 150,0  | 300,5  | 12018  | 17671,44                         | 352700 | 19,96       | 24,88                      |
| 8   | II-4            | 14   | 150,8  | 300,5  | 12476  | 17860,44                         | 561000 | 31,41       |                            |
| 9   | III-3           | 14   | 150,0  | 300,3  | 11965  | 17671,44                         | 411000 | 23,26       |                            |
| 10  | I-4             | 21   | 150,1  | 300,5  | 12116  | 17683,23                         | 421700 | 23,85       | 27,29                      |
| 11  | II-5            | 21   | 150,0  | 301,3  | 12383  | 17671,44                         | 597100 | 33,79       |                            |
| 12  | III-4           | 21   | 150,2  | 300,8  | 12180  | 17706,80                         | 429300 | 24,24       |                            |
| 13  | I-8             | 28   | 151,1  | 300,5  | 12223  | 17919,71                         | 466300 | 26,02       | 26,19                      |
| 14  | II-8            | 28   | 150,0  | 301,5  | 12222  | 17671,44                         | 452700 | 25,62       |                            |
| 15  | III-8           | 28   | 150,0  | 300,0  | 11822  | 17671,44                         | 476100 | 26,94       |                            |

Tabel 3.8 Data Hasil Uji Kuat Tekan Beton Campuran 2 dengan 50% RCA

| No. | Nomor Pembuatan | Umur | D (mm) | L (mm) | W (gr) | Luas Penampang ( $\text{mm}^2$ ) | P (N)  | $f_c$ (MPa) | Kuat Tekan Rata-rata (MPa) |
|-----|-----------------|------|--------|--------|--------|----------------------------------|--------|-------------|----------------------------|
| 1   | IV-1            | 3    | 150,4  | 300,0  | 11973  | 17765,82                         | 268300 | 15,10       | 16,60                      |

|    |       |    |       |       |       |          |        |       |  |
|----|-------|----|-------|-------|-------|----------|--------|-------|--|
| 2  | V-2   | 3  | 151,2 | 300,5 | 12078 | 17955,32 | 291600 | 16,24 |  |
| 3  | VI-2  | 3  | 150,2 | 302,0 | 11956 | 17706,80 | 326900 | 18,46 |  |
| 4  | IV-3  | 7  | 150,5 | 301,0 | 12175 | 17789,45 | 407400 | 22,90 |  |
| 5  | V-3   | 7  | 150,3 | 301,0 | 12161 | 17742,20 | 495000 | 27,90 |  |
| 6  | VI-3  | 7  | 150,1 | 301,5 | 12108 | 17695,01 | 411100 | 23,23 |  |
| 7  | IV-5  | 14 | 150,5 | 303,0 | 12275 | 17777,63 | 473500 | 26,63 |  |
| 8  | V-5   | 14 | 150,2 | 300,5 | 12010 | 17718,60 | 436000 | 24,61 |  |
| 9  | VI-6  | 14 | 150,3 | 300,0 | 12161 | 17730,40 | 623400 | 35,16 |  |
| 10 | IV-8  | 21 | 150,1 | 301,0 | 12120 | 17700,91 | 625100 | 35,31 |  |
| 11 | V-7   | 21 | 150,0 | 300,8 | 12049 | 17671,44 | 620800 | 35,13 |  |
| 12 | VI-8  | 21 | 150,0 | 300,3 | 12213 | 17659,66 | 594600 | 33,67 |  |
| 13 | IV-10 | 28 | 150,5 | 301,0 | 12218 | 17789,45 | 556600 | 31,29 |  |
| 14 | V-8   | 28 | 150,0 | 301,0 | 12065 | 17671,44 | 586100 | 33,17 |  |
| 15 | VI-10 | 28 | 150,0 | 300,0 | 12054 | 17671,44 | 663400 | 37,54 |  |

Tabel 3.9 Data Hasil Uji Kuat Tekan Beton Campuran 3 dengan 100% RCA

| No. | Nomor Pembuatan | Umur | D (mm) | L (mm) | W (gr) | Luas Penampang (mm <sup>2</sup> ) | P (N)  | f <sub>c</sub> (MPa) | Kuat Tekan Rata-rata (MPa) |
|-----|-----------------|------|--------|--------|--------|-----------------------------------|--------|----------------------|----------------------------|
| 1   | VII-2           | 3    | 150,1  | 300,8  | 11948  | 17695,01                          | 314500 | 17,77                |                            |
| 2   | VIII-2          | 3    | 150,3  | 300,5  | 11822  | 17742,20                          | 363700 | 20,50                |                            |
| 3   | IX-2            | 3    | 150,3  | 301,8  | 11903  | 17730,40                          | 415900 | 23,46                |                            |
| 4   | VII-4           | 7    | 150,0  | 301,0  | 11967  | 17671,44                          | 475400 | 26,90                |                            |
| 5   | VIII-4          | 7    | 150,0  | 300,5  | 11965  | 17671,44                          | 438300 | 24,80                |                            |
| 6   | IX-4            | 7    | 150,0  | 300,5  | 11936  | 17671,44                          | 492600 | 27,88                |                            |
| 7   | VII-6           | 14   | 150,0  | 300,5  | 11951  | 17671,44                          | 544100 | 30,79                |                            |
| 8   | VIII-6          | 14   | 150,2  | 300,0  | 11839  | 17706,80                          | 564100 | 31,86                |                            |
| 9   | IX-6            | 14   | 150,4  | 300,0  | 11951  | 17765,82                          | 571000 | 32,14                |                            |
| 10  | VII-8           | 21   | 150,0  | 300,8  | 12020  | 17671,44                          | 608100 | 34,41                |                            |
| 11  | VIII-8          | 21   | 150,0  | 299,5  | 11910  | 17671,44                          | 485400 | 27,47                |                            |
| 12  | IX-8            | 21   | 150,2  | 300,3  | 11941  | 17718,60                          | 478500 | 27,01                |                            |
| 13  | VII-9           | 28   | 150,0  | 300,8  | 12028  | 17659,66                          | 667700 | 37,81                |                            |
| 14  | VIII-9          | 28   | 150,9  | 300,5  | 12000  | 17872,29                          | 577600 | 32,32                |                            |
| 15  | IX-11           | 28   | 149,9  | 300,0  | 11841  | 17650,83                          | 701000 | 39,71                |                            |

Hasil kuat tekan rata-rata hari ke 3, 7, 14, 21, dan 28 pengujian kemudian dihitung menggunakan persamaan 2.12 sampai dengan 2.15 sehingga menghasilkan persamaan regresi 3.1, 3.2, dan 3.3. Dari persamaan ini dan persamaan 2.11 didapatkan faktor umur,

kuat tekan beton pada hari ke 28, standar deviasi, dan kuat tekan karakteristik aktual beton (Tabel 3.10, 3.11, dan 3.12).

$$Y_1 = \frac{x}{0,0329649x+0,115516} \quad (3.1)$$

$$Y_2 = \frac{x}{0,025084x+0,109598} \quad (3.2)$$

$$Y_3 = \frac{x}{0,026188x+0,082909} \quad (3.3)$$

Dimana: X = umur beton (hari)

Y = kuat tekan (Mpa)

Tabel 3.10 Kuat Tekan Karakteristik Beton Campuran 1 dengan 0% RCA

| No. | Umur<br>(hari) | Kuat Tekan (MPa) |               | Kuat<br>Tekan<br>Rregresi<br>(MPa) | Faktor<br>Umur | Kuat<br>Tekan 28<br>Hari<br>(MPa) |
|-----|----------------|------------------|---------------|------------------------------------|----------------|-----------------------------------|
|     |                | Perhitungan      | Rata-<br>rata |                                    |                |                                   |
| 1   | 3              | 11,19            | 13,47         | 13,993                             | 0,52           | 21,96*                            |
| 2   | 3              | 15,75            |               | 13,993                             | 0,52           | 30,91                             |
| 3   | 5              | 18,88            |               | 17,837                             | 0,66           | 28,90                             |
| 4   | 7              | 17,26            | 18,63         | 20,217                             | 0,75           | 23,24*                            |
| 5   | 7              | 18,35            |               | 20,217                             | 0,75           | 24,71                             |
| 6   | 7              | 20,29            |               | 20,217                             | 0,75           | 27,31                             |
| 7   | 14             | 19,96            | 24,88         | 24,265                             | 0,90           | 22,26*                            |
| 8   | 14             | 31,41            |               | 24,265                             | 0,90           | 35,04                             |
| 9   | 14             | 23,26            |               | 24,265                             | 0,90           | 25,94                             |
| 10  | 21             | 23,85            | 27,29         | 26,001                             | 0,96           | 24,77*                            |
| 11  | 21             | 33,79            |               | 26,001                             | 0,96           | 35,09                             |
| 12  | 21             | 24,24            |               | 26,001                             | 0,96           | 25,18                             |
| 13  | 28             | 26,02            | 26,19         | 26,965                             | 1,00           | 26,02                             |
| 14  | 28             | 25,62            |               | 26,965                             | 1,00           | 25,62                             |

|                                 |    |       |  |        |      |        |
|---------------------------------|----|-------|--|--------|------|--------|
| 15                              | 28 | 26,94 |  | 26,965 | 1,00 | 26,75  |
| Rata-rata                       |    |       |  |        |      | 26,91  |
| Standar deviasi                 |    |       |  |        |      | 4,040  |
| Kuat tekan karakteristik aktual |    |       |  |        |      | 20,287 |

\*) Ketidaksempurnaan dalam pengadukan dan pengecoran menghasilkan nilai kuat tekan yang rendah.

Tabel 3.11 Kuat Tekan Karakteristik Beton Campuran 2 dengan 50% RCA

| No. | Umur<br>(hari) | Kuat Tekan (MPa) |           | Kuat<br>Tekan<br>Regresi<br>(MPa) | Faktor<br>Umur | Kuat<br>Tekan<br>28 Hari<br>(MPa) |
|-----|----------------|------------------|-----------|-----------------------------------|----------------|-----------------------------------|
|     |                | Perhitungan      | Rata-rata |                                   |                |                                   |
| 1   | 3              | 15,10            | 16,60     | 16,230                            | 0,471          | 32,09                             |
| 2   | 3              | 16,24            |           | 16,230                            | 0,471          | 34,51                             |
| 3   | 3              | 18,46            |           | 16,230                            | 0,471          | 39,23                             |
| 4   | 7              | 22,90            | 24,68     | 24,548                            | 0,712          | 32,18                             |
| 5   | 7              | 27,90            |           | 24,548                            | 0,712          | 39,20                             |
| 6   | 7              | 23,23            |           | 24,548                            | 0,712          | 32,64                             |
| 7   | 14             | 26,63            | 28,80     | 30,387                            | 0,881          | 30,23                             |
| 8   | 14             | 24,61            |           | 30,387                            | 0,881          | 28,06                             |
| 9   | 14             | 35,16            |           | 30,387                            | 0,881          | 39,91                             |
| 10  | 21             | 35,31            | 34,70     | 33,004                            | 0,957          | 36,90                             |
| 11  | 21             | 35,13            |           | 33,004                            | 0,957          | 36,71                             |
| 12  | 21             | 33,67            |           | 33,004                            | 0,957          | 35,19                             |
| 13  | 28             | 31,29            | 34,00     | 34,490                            | 1,000          | 31,29                             |
| 14  | 28             | 33,17            |           | 34,490                            | 1,000          | 33,17                             |

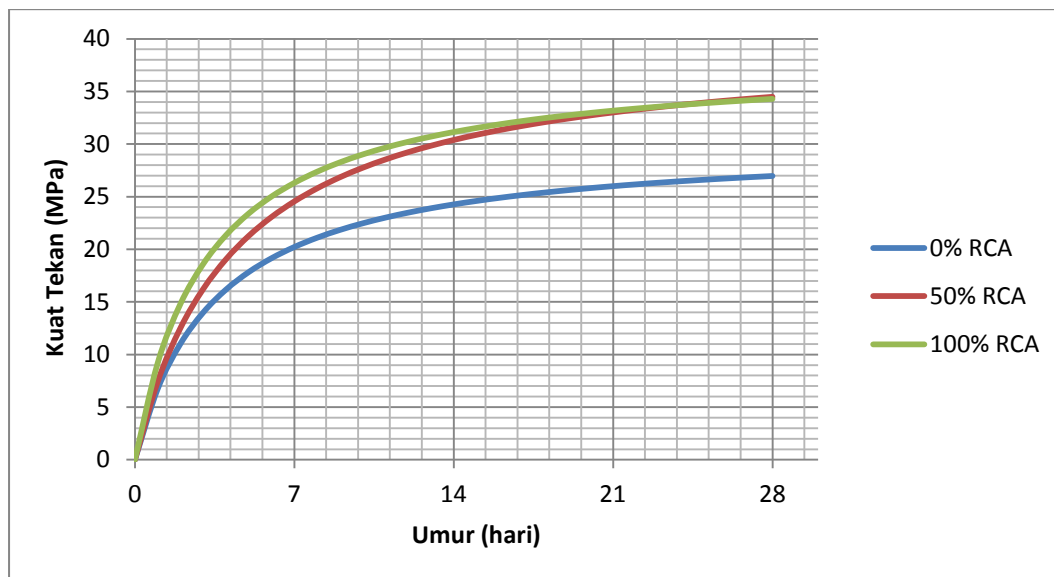
|                                 |    |       |  |        |       |        |
|---------------------------------|----|-------|--|--------|-------|--------|
| 15                              | 28 | 37,54 |  | 34,490 | 1,000 | 37,54  |
| Rata-rata                       |    |       |  |        |       | 34,59  |
| Standar deviasi                 |    |       |  |        |       | 3,590  |
| Kuat tekan karakteristik aktual |    |       |  |        |       | 28,702 |

Tabel 3.12 Kuat Tekan Karakteristik Beton Campuran 3 dengan 100% RCA

| No. | Umur<br>(hari) | Kuat Tekan (MPa) |               | Kuat<br>Tekan<br>Regresi<br>(MPa) | Faktor<br>Umur | Faktor<br>Umur<br>Terhadap<br>28 Hari<br>(MPa) |
|-----|----------------|------------------|---------------|-----------------------------------|----------------|--|
|     |                | Perhitungan      | Rata-<br>rata |                                   |                |  |
| 1   | 3              | 17,77            | 20,58         | 18,608                            | 0,543          | 32,76  |
| 2   | 3              | 20,50            |               | 18,608                            | 0,543          | 37,78  |
| 3   | 3              | 23,46            |               | 18,608                            | 0,543          | 43,23  |
| 4   | 7              | 26,90            | 26,53         | 26,309                            | 0,767          | 35,07  |
| 5   | 7              | 24,80            |               | 26,309                            | 0,767          | 32,33  |
| 6   | 7              | 27,88            |               | 26,309                            | 0,767          | 36,33  |
| 7   | 14             | 30,79            | 31,60         | 31,143                            | 0,908          | 33,90  |
| 8   | 14             | 31,86            |               | 31,143                            | 0,908          | 35,08  |
| 9   | 14             | 32,14            |               | 31,143                            | 0,908          | 35,39  |
| 10  | 21             | 34,41            | 29,63         | 33,174                            | 0,967          | 35,57  |
| 11  | 21             | 27,47            |               | 33,174                            | 0,967          | 28,39  |
| 12  | 21             | 27,01            |               | 33,174                            | 0,967          | 27,92  |
| 13  | 28             | 37,81            | 36,61         | 34,293                            | 1,000          | 37,81  |
| 14  | 28             | 32,32            |               | 34,293                            | 1,000          | 32,32  |

|                                 |    |       |  |        |       |        |
|---------------------------------|----|-------|--|--------|-------|--------|
| 15                              | 28 | 39,71 |  | 34,293 | 1,000 | 39,72  |
| Rata-rata                       |    |       |  |        |       | 34,91  |
| Standar deviasi                 |    |       |  |        |       | 3,983  |
| Kuat tekan karakteristik aktual |    |       |  |        |       | 28,374 |

Dari persamaan regresi diperoleh perkembangan kuat tekan perhari sehingga dapat dibuat grafik perbandingan kuat tekan terhadap umur beton untuk setiap campuran (Gambar 3.5 ).



Gambar 3.5 Grafik Perbandingan Kuat Tekan Terhadap Umur Beton

Grafik diatas menunjukkan bahwa beton dengan 50% RCA dan beton dengan 100% RCA memiliki perkembangan kuat tekan yang hampir sama. Mutu beton yang bisa dicapai (kuat tekan karakteristik aktual) dari campuran 2 dan 3 harganya melebihi kuat tekan yang disyaratkan (25 Mpa) sedangkan campuran 1 mutu beton tidak mencapai yang disyaratkan.

### 3.2.5 Uji Palu Beton dengan $f'_c = 25$ Mpa

Pengujian palu beton menggunakan *Swiss Hammer* untuk mengetahui kuat tekan beton dengan cara indestruktif. Hasil rata-rata pengujian kemudian dikalibrasi menggunakan grafik Lampiran C untuk sudut pengujian -90°.

Tabel 3.13 Hasil Uji Palu Beton

| Persentase<br>RCA | Rebound Number (N) |    |    |    |    |    |    |    |    |    | Rata-<br>rata | Kuat<br>Tekan*)<br>(MPa) |
|-------------------|--------------------|----|----|----|----|----|----|----|----|----|---------------|--------------------------|
|                   | 1                  | 2  | 3  | 4  | 5  | 6  | 7  | 8  | 9  | 10 |               |                          |
| 0%                | 24                 | 24 | 25 | 22 | 24 | 24 | 25 | 24 | 27 | 23 | 24,2          | 17,5                     |
|                   | 28                 | 24 | 28 | 28 | 25 | 28 | 26 | 25 | 26 | 28 | 26,6          | 21,0                     |
|                   | 26                 | 28 | 25 | 23 | 24 | 31 | 29 | 25 | 33 | 27 | 27,1          | 22,0                     |
| 50%               | 31                 | 26 | 27 | 29 | 28 | 37 | 32 | 28 | 28 | 28 | 29,4          | 25,0                     |
|                   | 41                 | 24 | 28 | 31 | 28 | 34 | 30 | 30 | 33 | 28 | 30,7          | 27,5                     |
|                   | 27                 | 26 | 30 | 36 | 26 | 25 | 26 | 35 | 27 | 31 | 28,9          | 26,0                     |
| 100%              | 28                 | 29 | 28 | 28 | 28 | 26 | 26 | 27 | 28 | 28 | 27,6          | 23,5                     |
|                   | 26                 | 30 | 28 | 30 | 27 | 29 | 26 | 27 | 27 | 31 | 28,1          | 24,0                     |
|                   | 27                 | 28 | 26 | 27 | 29 | 26 | 30 | 26 | 26 | 26 | 27,1          | 21,5                     |

\*) berdasarkan grafik korelasi N dan kuat tekan pada alat

### 3.2.6 Uji Kuat Tarik Belah dengan $f_c' = 25$ Mpa

Pengujian kuat tarik belah beton menggunakan alat *Compression Testing Machine (CTM)* seperti pada Gambar 3.6. Pembebanan dilakukan sampai benda uji mengalami keretakan dan dicatat beban maksimum yang dicapai selama pengujian. Kuat tarik belah beton dihitung menggunakan persamaan 2.2. Selanjutnya akan didapat kuat tarik belah maksimum untuk masing-masing benda uji dan kemudian dirata-ratakan untuk masing-masing umur pengujian.



Gambar 3.6 Uji Kuat Tarik Belah dengan CTM

Tabel 3.14 Data Hasil Pengujian Kuat Tarik Belah Beton Campuran 1 dengan 0% RCA

| No. | Kode Pembuatan | Umur | D (mm) | L (mm) | W (gr) | Luas Penampang ( $\text{mm}^2$ ) | P (N)  | fct (MPa) | Kuat Tarik Rata-rata (MPa) |
|-----|----------------|------|--------|--------|--------|----------------------------------|--------|-----------|----------------------------|
| 1   | II-3           | 7    | 151,6  | 300,5  | 12581  | 18050                            | 188500 | 2,64      | 2,51                       |
| 2   | III-6          | 7    | 150,6  | 299,5  | 12167  | 17813                            | 168200 | 2,38      |                            |
| 3   | I-6            | 14   | 150,0  | 300,0  | 12043  | 17671                            | 157500 | 2,23      | 2,22                       |
| 4   | I-7            | 14   | 150,0  | 299,5  | 12035  | 17671                            | 155600 | 2,21      |                            |
| 5   | I-9            | 21   | 151,4  | 297,5  | 12110  | 17991                            | 141600 | 2,00      | 2,07                       |
| 6   | II-7           | 21   | 150,8  | 300,3  | 12381  | 17860                            | 151800 | 2,14      |                            |
| 7   | I-5            | 28   | 150,9  | 300,5  | 12187  | 17884                            | 156300 | 2,20      | 2,73                       |
| 8   | II-6           | 28   | 149,7  | 301,0  | 13317  | 17589                            | 234300 | 3,31      |                            |
| 9   | III-7          | 28   | 150,1  | 300,8  | 12133  | 17683                            | 190900 | 2,69      |                            |

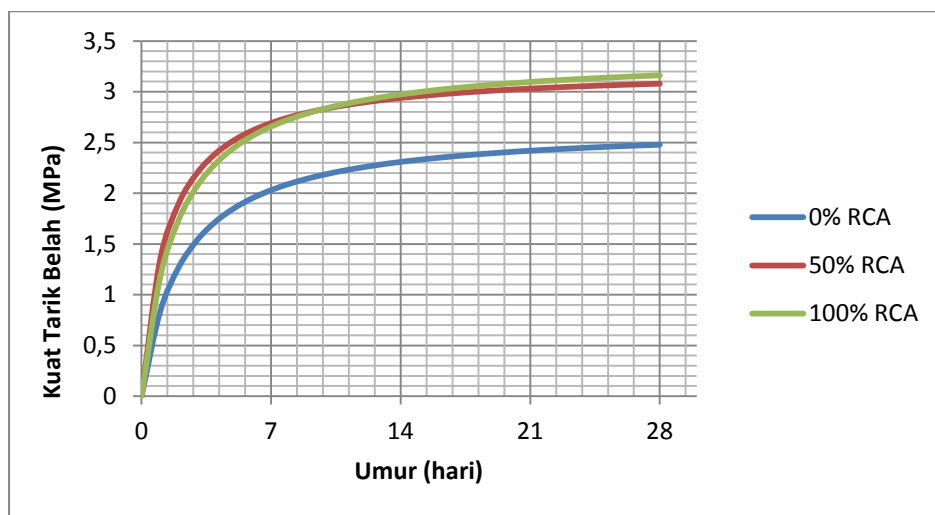
Tabel 3.15 Data Hasil Pengujian Kuat Tarik Belah Beton Campuran 2 dengan 50% RCA

| No. | Code Pembuatan | Umur | D (mm) | L (mm) | W (gr) | Luas Penampang ( $\text{mm}^2$ ) | P (N)  | fct (MPa) | Kuat Tarik Rata-rata (MPa) |
|-----|----------------|------|--------|--------|--------|----------------------------------|--------|-----------|----------------------------|
| 1   | IV-2           | 3    | 150,2  | 302,0  | 12036  | 17719                            | 147170 | 2,07      | 2,04                       |
| 2   | V-1            | 3    | 151,5  | 301,0  | 12205  | 18027                            | 144200 | 2,01      |                            |
| 3   | VI-1           | 3    | 150,8  | 302,5  | 12257  | 17849                            | 146200 | 2,04      | 2,72                       |
| 4   | IV-4           | 7    | 151,7  | 301,3  | 12213  | 18062                            | 182700 | 2,55      |                            |
| 5   | VI-4           | 7    | 150,3  | 301,5  | 12185  | 17742                            | 205100 | 2,88      | 2,87                       |
| 6   | IV-6           | 14   | 150,3  | 301,5  | 12120  | 17730                            | 196500 | 2,76      |                            |
| 7   | V-4            | 14   | 149,8  | 300,5  | 12400  | 17624                            | 186100 | 2,63      | 3,29                       |
| 8   | VI-5           | 14   | 150,0  | 300,0  | 12048  | 17671                            | 226300 | 3,20      |                            |
| 9   | IV-7           | 21   | 149,8  | 300,5  | 12195  | 17618                            | 242900 | 3,44      | 2,97                       |
| 10  | V-6            | 21   | 150,1  | 301,0  | 12198  | 17689                            | 238500 | 3,36      |                            |
| 11  | VI-7           | 21   | 150,7  | 300,8  | 12188  | 17825                            | 218600 | 3,07      | 3,29                       |
| 12  | IV-9           | 28   | 150,1  | 300,5  | 12004  | 17695                            | 238700 | 3,37      |                            |
| 13  | V-8            | 28   | 150,0  | 301,3  | 12140  | 17671                            | 181800 | 2,56      |                            |

Tabel 3.16 Data Hasil Pengujian Kuat Tarik Belah Beton Campuran 3 dengan 100% RCA

| No. | Code Pembuatan | Umur | D (mm) | L (mm) | W (gr) | Luas Penampang (mm <sup>2</sup> ) | P (N)  | f <sub>c</sub> t (MPa) | Kuat Tarik Rata-rata (MPa) |
|-----|----------------|------|--------|--------|--------|-----------------------------------|--------|------------------------|----------------------------|
| 1   | VII-1          | 3    | 150,2  | 301,3  | 11981  | 17707                             | 150100 | 2,11                   | 2,02                       |
| 2   | VIII-1         | 3    | 150,6  | 300,5  | 11936  | 17801                             | 137300 | 1,93                   |                            |
| 3   | IX-1           | 3    | 150,2  | 301,0  | 11933  | 17707                             | 142400 | 2,01                   |                            |
| 4   | VII-3          | 10   | 150,2  | 300,0  | 11955  | 17707                             | 185800 | 2,63                   | 2,85                       |
| 5   | VIII-3         | 10   | 151,1  | 300,5  | 12000  | 17932                             | 194800 | 2,73                   |                            |
| 6   | IX-3           | 10   | 149,8  | 302,0  | 11948  | 17613                             | 227100 | 3,20                   |                            |
| 7   | VII-5          | 14   | 150,2  | 300,5  | 12010  | 17707                             | 223200 | 3,15                   | 2,98                       |
| 8   | VIII-5         | 14   | 150,7  | 300,5  | 12009  | 17837                             | 191200 | 2,69                   |                            |
| 9   | IX-5           | 14   | 150,1  | 300,5  | 11908  | 17695                             | 219400 | 3,10                   |                            |
| 10  | VII-7          | 21   | 149,8  | 300,5  | 11921  | 17613                             | 212300 | 3,00                   | 3,13                       |
| 11  | VIII-7         | 21   | 150,2  | 300,5  | 12012  | 17707                             | 219300 | 3,10                   |                            |
| 12  | IX-7           | 21   | 150,3  | 300,5  | 12045  | 17742                             | 232400 | 3,28                   |                            |
| 13  | VII-10         | 28   | 150,1  | 301,0  | 11951  | 17695                             | 233700 | 3,29                   | 3,14                       |
| 14  | IX-9           | 28   | 149,6  | 300,8  | 11900  | 17583                             | 240000 | 3,40                   |                            |
| 15  | IX-10          | 28   | 149,1  | 300,3  | 11834  | 17466                             | 192100 | 2,73                   |                            |

Kuat tarik rata-rata yang didapatkan, kemudian diregresi menggunakan Persamaan 2.12 sampai dengan 2.15 menghasilkan grafik perkembangan kuat tarik belah setiap harinya untuk setiap variasi campuran (Gambar 3.7).



Gambar 3.7 Grafik Perbandingan Kuat Tarik Belah Beton Terhadap Umur Beton

Dari Gambar terlihat bahwa kuat tarik belah beton menunjukkan nilai kuat tarik belah yang hampir sama untuk beton dengan 50% RCA dan 100% RCA. Sedangkan beton dengan 0% RCA menghasilkan nilai yang rendah seperti nilai kuat tekannya.

Tabel 3.17 Perbandingan Nilai Kuat Tarik Belah Beton dibagi  $\sqrt{fc'}$

| Percentase Agregat | fct (MPa) | fc' (MPa) | fct/ $\sqrt{fc'}$ |
|--------------------|-----------|-----------|-------------------|
| 0% RCA             | 1,83      | 20,28     | 0,41              |
| 50% RCA            | 2,56      | 28,70     | 0,48              |
| 100%RCA            | 2,81      | 28,37     | 0,53              |

Tabel 3.17 menunjukkan perbandingan dari nilai kuat tarik belah yang dibagi  $\sqrt{fc'}$ , koefisien ini merupakan perbandingan terhadap perhitungan teoritis yang menunjukkan  $fct < 0,62\sqrt{fc'}$ . Nilai koefisien dari ketiga campuran beton ini menunjukkan hasil yang nilainya lebih kecil dari 0,62.

### 3.3 Pengujian Beton dengan Kuat Tekan Karakteristik 20 Mpa

Pengujian kuat tekan dan kuat tarik belah dilakukan dengan benda uji silinder. Campuran beton menggunakan semen PCC tipe 1 Tiga Roda, agregat halus alami dan agregat halus daur ulang. Sedangkan untuk agregat kasar digunakan agregat batu pecah alami dan agregat kasar daur ulang yang diambil dari bekas benda uji di Laboratorium Struktur, dimana ukuran agregat kasar maksimum 25 mm.

#### 3.3.1 Benda Uji

Empat jenis pengujian kekuatan dilakukan terhadap benda uji dengan kuat tekan karakteristik beton ( $fc'$ ) 20 Mpa:

- Benda uji silinder untuk uji kuat tekan dan tarik belah dengan diameter 15 cm dan tinggi 30 cm. Pengujian kuat tekan dan tarik belah untuk masing-masing variasi campuran berjumlah 27 buah.

- Balok untuk uji kuat geser dengan ukuran  $100 \times 100 \times 300 \text{ mm}^3$  untuk masing-masing variasi campuran berjumlah 3 buah.
- Balok beton bertulang  $500 \times 120 \times 1200 \text{ mm}^3$ , dengan bentang uji 1050 mm. Benda uji balok untuk masing-masing variasi 3 buah, digunakan untuk menguji kuat lentur. Baja polos dengan diameter 10 mm dan tegangan leleh nya 400 Mpa digunakan untuk tulangan tarik. Baja polos dengan diameter 5 mm digunakan untuk tulangan tekan.

### **3.3.2 Pemeriksaan Agregat dan Perencanaan Campuran dengan $f'_c = 20 \text{ Mpa}$**

Pemeriksaan karakteristik agregat halus dan agregat kasar dilakukan terhadap tiga variasi campuran. Campuran I menggunakan agregat halus alami (0% agregat halus daur ulang) dan 100% agregat kasar daur ulang. Campuran II menggunakan 20% agregat halus daur ulang dan 80% agregat kasar daur ulang. Kemudian campuran III menggunakan 40% agregat halus daur ulang dan 60% agregat kasar daur ulang . Hasil pemeriksaan agregat menghasilkan data yang berbeda pada setiap campuran sebagai berikut:

Tabel 3.18 Pemeriksaan Karakteristik Agregat Halus

| No. | Jenis Pengujian         | Satuan | Agregat Halus Daur Ulang |       |       |
|-----|-------------------------|--------|--------------------------|-------|-------|
|     |                         |        | 0%                       | 20%   | 40%   |
| 1   | Kadar Air               | %      | 8,11                     | 6,96  | 8,99  |
| 2   | Daya serap              | %      | 6,1                      | 11,11 | 14,62 |
| 3   | <i>Spesific gravity</i> |        | 2,41                     | 2,51  | 2,15  |
| 4   | Modulus kehalusan       | %      | 2,9                      | 3,17  | 2,97  |

Tabel 3.19 Pemeriksaan Karakteristik Agregat Kasar

| No. | Jenis Pengujian         | Satuan | Agregat kasar Daur Ulang |         |         |
|-----|-------------------------|--------|--------------------------|---------|---------|
|     |                         |        | 100%                     | 80%     | 60%     |
| 1   | Kadar Air               | %      | 6,4                      | 4,44    | 4,58    |
| 2   | Daya serap              | %      | 7,91                     | 6,1     | 7,91    |
| 3   | <i>Spesific gravity</i> |        | 2,39                     | 2,51    | 2,4     |
| 4   | Berat Isi Padat         | kg/m3  | 1405,55                  | 1392,92 | 1465,69 |
| 5   | Abrasi                  | %      | 27,36                    | 27,12   | 24,52   |

Daya serap agregat halus meningkat seiring meningkatnya persentase penggunaan agregat halus daur ulang. Sedang kadar air agregat kasar meningkat seiring meningkatnya persentase penggunaan agregat kasar daur ulang.

Dari data pemeriksaan karakteristik agregat kasar dan agregat halus dilakukan perencanaan campuran (*mix design*) beton normal dengan metode ACI 211.1 – 91 basis massa untuk mendapatkan proporsi air, semen, agregat halus, dan agregat kasar. Semua campuran membutuhkan air yang sama dalam kondisi agregat SSD yaitu 193 (kg/m<sup>3</sup>) sehingga dapat dibandingkan antar campurannya. Agregat berasal dari alam sehingga ada selisih antara kadar air dan daya serapnya, oleh karena itu perlu dilakukan koreksi berat air, agregat halus, dan agregat kasar (Tabel 3.18).

Tabel 3.20 Proporsi Campuran

| No. | Proporsi campuran (kg/m <sup>3</sup> ) | Campuran A AHD 0% + AKD 100% | Campuran B AHD20% + AKD 80% | Campuran C AHD 40% + AKD 60% |
|-----|--|------------------------------|-----------------------------|------------------------------|
| 1   | Air Koreksi                            | 190,35                       | 244,18                      | 244,65                       |
| 2   | Air SSD                                | 193                          | 193                         | 193                          |
| 3   | Semen                                  | 355,93                       | 355,93                      | 355,93                       |
| 4   | Agregat kasar                          | 987,04                       | 945,59                      | 1000,58                      |
| 5   | Agregat halus                          | 846,68                       | 834,3                       | 778,84                       |

### 3.3.3 Pemeriksaan Baja Tulangan

Pemeriksaan baja tulangan dilakukan untuk mengetahui tegangan tarik yang dimiliki oleh baja. Pengujian tarik dilakukan pada tulangan baja polos dengan diameter 10 mm kemudian data yang diambil adalah beban maksimum dan beban leleh. Tegangan tarik tulangan baja dapat diketahui dengan cara membagi beban maksimum dengan luas rata-rata tulangan baja.

Tabel 3.21 Pengujian Tarik Tulangan Baja

| Benda Uji | Ukuran (mm) |      |      |            | Beban Leleh<br>$P_y$ (N) | Beban Runtuh<br>$P_u$ (N) |
|-----------|-------------|------|------|------------|--------------------------|---------------------------|
|           | D1          | D2   | D3   | Drata-rata |                          |                           |
| 1         | 10,09       | 10,1 | 10,1 | 10,08      | 34487,05                 | 54680,94                  |
| 2         | 10,05       | 10   | 10,1 | 10,05      | 34148,61                 | 51330,83                  |
| 3         | 10,06       | 10   | 10   | 10,05      | 34207,47                 | 51693,80                  |

### 3.3.4 Uji Kuat Tekan dengan $f'_c = 20$ Mpa

Setelah dilakukan pengadukan campuran, pengujian *slump* dan perawatan beton kemudian dilakukan uji kuat tekan pada umur beton 3, 7, 14, 21, dan 28 hari sehingga didapat kuat tekan rata-ratanya (Tabel 22, 23, dan 24).

Tabel 3.22 Pengujian Kuat Tekan Beton Campuran I

| Benda Uji | Umur Pengujian (Hari) | Ukuran Silinder (cm) |       |            |                 |       |            | Berat Silinder (Kg) | Beban Total (kN) | Luas Penampang (mm <sup>2</sup> ) | Tegangan Hancur (MPa) |             |                   |  |  |  |
|-----------|-----------------------|----------------------|-------|------------|-----------------|-------|------------|---------------------|------------------|-----------------------------------|-----------------------|-------------|-------------------|--|--|--|
|           |                       | Diameter             |       |            | Tinggi Silinder |       |            |                     |                  |                                   | Bacaan Alat           | Perhitungan | Rata <sup>2</sup> |  |  |  |
|           |                       | D1                   | D2    | Drata-rata | H1              | H2    | Drata-rata |                     |                  |                                   |                       |             |                   |  |  |  |
| 1         | 3                     | 15,13                | 15,10 | 15,12      | 30,00           | 30,10 | 30,05      | 11,806              | 236,1            | 17934,36                          | 13,36                 | 13,16       | 13,46             |  |  |  |
| 2         | 3                     | 15,14                | 15,13 | 15,14      | 30,00           | 30,00 | 30,00      | 11,898              | 247,5            | 17981,86                          | 15,63                 | 13,76       |                   |  |  |  |
| 3         | 4                     | 15,05                | 15,07 | 15,06      | 30,00           | 30,10 | 30,05      | 11,999              | 279,7            | 17804,08                          | 14,01                 | 15,71       | 15,71             |  |  |  |
| 4         | 7                     | 15,07                | 15,05 | 15,06      | 30,10           | 30,00 | 30,05      | 11,958              | 350,4            | 17804,08                          | 19,83                 | 19,68       |                   |  |  |  |
| 5         | 7                     | 15,09                | 15,06 | 15,07      | 30,30           | 30,10 | 30,20      | 11,932              | 310,6            | 17833,65                          | 17,58                 | 17,42       | 18,23             |  |  |  |
| 6         | 7                     | 15,02                | 15,01 | 15,02      | 30,10           | 30,30 | 30,20      | 11,991              | 311,2            | 17697,84                          | 17,61                 | 17,58       |                   |  |  |  |
| 8         | 13                    | 14,96                | 14,97 | 14,96      | 30,20           | 30,30 | 30,25      | 11,876              | 369,2            | 17574,30                          | 20,89                 | 21,01       |                   |  |  |  |
| 9         | 13                    | 15,08                | 15,11 | 15,09      | 30,00           | 30,05 | 30,03      | 12,250              | 415,8            | 17881,01                          | 23,33                 | 23,25       | 22,13             |  |  |  |
| 7         | 14                    | 15,01                | 15,00 | 15,00      | 30,10           | 30,20 | 30,15      | 12,300              | 385,8            | 17662,50                          | 21,83                 | 21,84       | 21,84             |  |  |  |
| 10        | 21                    | 15,09                | 14,98 | 15,03      | 30,00           | 30,00 | 30,00      | 11,876              | 438,8            | 17739,12                          | 24,83                 | 24,74       |                   |  |  |  |
| 11        | 21                    | 15,14                | 15,14 | 15,14      | 30,15           | 30,10 | 30,13      | 12,012              | 418,6            | 17993,74                          | 23,69                 | 23,26       | 24,34             |  |  |  |
| 12        | 21                    | 14,99                | 15,05 | 15,02      | 30,15           | 30,05 | 30,10      | 12,029              | 443,2            | 17709,63                          | 25,08                 | 25,03       |                   |  |  |  |
| 13        | 28                    | 15,01                | 15,08 | 15,04      | 30,15           | 30,20 | 30,18      | 11,864              | 593,4            | 17762,73                          | 33,58                 | 33,41       |                   |  |  |  |
| 14        | 28                    | 15,04                | 15,03 | 15,03      | 30,10           | 30,00 | 30,05      | 11,909              | 560,0            | 17739,12                          | 31,69                 | 31,57       | 32,97             |  |  |  |
| 15        | 28                    | 15,06                | 15,08 | 15,07      | 30,10           | 30,00 | 30,05      | 11,969              | 604,4            | 17815,91                          | 34,20                 | 33,92       |                   |  |  |  |

**Tabel 3.23 Pengujian Kuat Tekan Beton Campuran II**

| Benda Uji | Umur Pengujian (Hari) | Ukuran Silinder (cm) |       |            |                 |       |            | Berat Silinder (Kg) | Beban Total (kN) | Luas Penampang (mm <sup>2</sup> ) | Tegangan Hancur (MPa) |             |         |  |  |  |
|-----------|-----------------------|----------------------|-------|------------|-----------------|-------|------------|---------------------|------------------|-----------------------------------|-----------------------|-------------|---------|--|--|--|
|           |                       | Diameter             |       |            | Tinggi Silinder |       |            |                     |                  |                                   | Bacaan Alat           | Perhitungan | Rata2   |  |  |  |
|           |                       | D1                   | D2    | Drata-rata | H1              | H2    | Frata-rata |                     |                  |                                   |                       |             |         |  |  |  |
| 1         | 4                     | 15,11                | 15,05 | 15,08      | 30,00           | 30,00 | 30,00      | 11,848              | 314,6            | 17851,40240                       | 17,80                 | 17,6232653  | 17,2650 |  |  |  |
| 2         | 4                     | 15,01                | 15,05 | 15,03      | 30,10           | 30,00 | 30,05      | 11,804              | 274,0            | 17733,22065                       | 15,51                 | 15,4512260  |         |  |  |  |
| 3         | 4                     | 15,03                | 15,09 | 15,06      | 30,10           | 30,20 | 30,15      | 11,996              | 333,3            | 17804,08260                       | 18,86                 | 18,7204254  |         |  |  |  |
| 4         | 7                     | 15,01                | 14,99 | 15,00      | 30,00           | 30,20 | 30,10      | 11,800              | 336,6            | 17662,50000                       | 19,05                 | 19,0573248  |         |  |  |  |
| 5         | 7                     | 15,09                | 14,95 | 15,02      | 30,10           | 30,10 | 30,10      | 11,783              | 357,0            | 17709,63140                       | 20,20                 | 20,1585223  |         |  |  |  |
| 6         | 7                     | 14,98                | 14,99 | 14,98      | 30,00           | 30,00 | 30,00      | 11,971              | 204,7            | 17621,31154                       | 11,59                 | 11,6166155  |         |  |  |  |
| 7         | 13                    | 15,13                | 15,08 | 15,10      | 30,10           | 30,05 | 30,08      | 11,880              | 458,7            | 17898,78500                       | 25,96                 | 25,6274378  |         |  |  |  |
| 8         | 13                    | 15,08                | 14,97 | 15,02      | 30,00           | 30,05 | 30,03      | 11,767              | 398,9            | 17709,63140                       | 22,57                 | 22,5244665  |         |  |  |  |
| 9         | 13                    | 14,94                | 14,97 | 14,96      | 30,00           | 30,00 | 30,00      | 11,899              | 435,7            | 17556,68396                       | 24,65                 | 24,8167593  |         |  |  |  |
| 10        | 21                    | 15,04                | 15,05 | 15,05      | 30,10           | 30,10 | 30,10      | 11,860              | 417,7            | 17768,63396                       | 23,64                 | 23,5077159  |         |  |  |  |
| 11        | 21                    | 15,04                | 15,02 | 15,03      | 30,20           | 30,10 | 30,15      | 11,795              | 406,2            | 17733,22065                       | 22,99                 | 22,9061606  |         |  |  |  |
| 12        | 21                    | 15,04                | 15,08 | 15,06      | 30,20           | 30,10 | 30,15      | 12,010              | 545,8            | 17798,17204                       | 30,88                 | 30,6660706  |         |  |  |  |
| 13        | 28                    | 14,97                | 14,93 | 14,95      | 30,00           | 30,00 | 30,00      | 12,023              | 543,0            | 17544,94625                       | 30,73                 | 30,9490831  |         |  |  |  |
| 14        | 28                    | 14,97                | 15,13 | 15,05      | 30,00           | 30,00 | 30,00      | 11,828              | 543,3            | 17780,44625                       | 33,07                 | 30,5560385  |         |  |  |  |
| 15        | 28                    | 15,07                | 14,98 | 15,03      | 30,20           | 30,10 | 30,15      | 11,911              | 510,0            | 17721,42406                       | 28,86                 | 28,7787256  |         |  |  |  |

**Tabel 3.24 Pengujian Kuat Tekan Beton Campuran III**

| Benda Uji | Umur Pengujian (Hari) | Ukuran Silinder (cm) |       |            |                 |       |            | Berat Silinder (Kg) | Beban Total (kN) | Luas Penampang (mm <sup>2</sup> ) | Tegangan Hancur (MPa) |             |       |  |  |  |
|-----------|-----------------------|----------------------|-------|------------|-----------------|-------|------------|---------------------|------------------|-----------------------------------|-----------------------|-------------|-------|--|--|--|
|           |                       | Diameter             |       |            | Tinggi Silinder |       |            |                     |                  |                                   | Bacaan Alat           | Perhitungan | Rata2 |  |  |  |
|           |                       | D1                   | D2    | Drata-rata | H1              | H2    | Frata-rata |                     |                  |                                   |                       |             |       |  |  |  |
| 1         | 4                     | 14,83                | 14,95 | 14,89      | 30,00           | 30,05 | 30,03      | 11,800              | 247,9            | 17404,39985                       | 14,03                 | 14,24       | 15,03 |  |  |  |
| 2         | 4                     | 14,88                | 15,02 | 14,95      | 30,00           | 30,00 | 30,00      | 11,731              | 310,9            | 17539,07887                       | 17,60                 | 17,73       |       |  |  |  |
| 3         | 4                     | 14,98                | 15,10 | 15,04      | 30,00           | 30,00 | 30,00      | 11,812              | 233,0            | 17750,92289                       | 13,18                 | 13,13       |       |  |  |  |
| 4         | 6                     | 14,96                | 15,17 | 15,07      | 30,05           | 30,10 | 30,08      | 11,755              | 316,8            | 17815,90666                       | 17,93                 | 17,78       |       |  |  |  |
| 5         | 6                     | 15,13                | 15,14 | 15,13      | 30,05           | 30,00 | 30,03      | 11,935              | 276,8            | 17975,91567                       | 15,66                 | 15,40       |       |  |  |  |
| 6         | 6                     | 15,07                | 15,07 | 15,07      | 30,10           | 30,20 | 30,15      | 11,888              | 301,6            | 17815,90666                       | 17,07                 | 16,93       |       |  |  |  |
| 7         | 14                    | 15,00                | 15,13 | 15,06      | 29,90           | 30,10 | 30,00      | 11,735              | 336,4            | 17809,99414                       | 19,03                 | 18,89       | 21,28 |  |  |  |
| 8         | 14                    | 15,02                | 15,03 | 15,03      | 30,10           | 30,10 | 30,10      | 12,003              | 464,8            | 17721,42406                       | 26,30                 | 26,23       |       |  |  |  |
| 9         | 14                    | 15,03                | 15,00 | 15,01      | 30,00           | 30,20 | 30,10      | 11,780              | 331,1            | 17691,94977                       | 18,73                 | 18,71       |       |  |  |  |
| 10        | 21                    | 14,99                | 14,98 | 14,99      | 30,10           | 30,00 | 30,05      | 11,790              | 368,1            | 17627,19266                       | 20,83                 | 20,88       |       |  |  |  |
| 11        | 21                    | 15,05                | 14,90 | 14,98      | 30,10           | 30,20 | 30,15      | 12,042              | 468,5            | 17603,67406                       | 25,51                 | 26,61       |       |  |  |  |
| 12        | 21                    | 15,01                | 15,03 | 15,02      | 30,00           | 30,10 | 30,05      | 11,886              | 399,7            | 17703,73654                       | 22,62                 | 22,58       | 23,36 |  |  |  |
| 13        | 28                    | 15,03                | 15,02 | 15,02      | 30,20           | 30,10 | 30,15      | 11,778              | 361,4            | 17715,52724                       | 20,45                 | 20,40       |       |  |  |  |
| 14        | 28                    | 15,05                | 15,01 | 15,03      | 30,00           | 30,00 | 30,00      | 11,724              | 416,1            | 17727,32187                       | 23,55                 | 23,47       |       |  |  |  |
| 15        | 28                    | 15,02                | 15,03 | 15,02      | 30,10           | 30,00 | 30,05      | 11,889              | 492,2            | 17715,52724                       | 27,85                 | 27,78       |       |  |  |  |
| 16        | 28                    | 14,97                | 15,03 | 15,00      | 30,20           | 30,10 | 30,15      | 11,845              | 486,3            | 17650,72696                       | 27,52                 | 27,55       |       |  |  |  |

Dari hasil kuat tekan rata-rata hari ke 3, 7, 14, 21, dan 28 pengujian didapatkan persamaan regresi untuk campuran A, B, dan C. Dari persamaan ini dihasilkan faktor umur, kuat tekan beton pada hari ke 28, standar deviasi, dan kuat tekan karakteristik aktual beton (Tabel 3.25, 3.26, dan 3.27).

$$\text{Regresi untuk Campuran A, } Y_1 = \frac{x}{0,02762493x+0,18794732}$$

$$\text{Regresi untuk Campuran B, } Y_2 = \frac{x}{0,028540098x+0,171915357}$$

$$\text{Regresi untuk Campuran C, } Y_3 = \frac{x}{0,0357985x+0,1396035}$$

Dimana:    X = umur beton (hari)

Y = kuat tekan (Mpa)

Tabel 3.25 Kuat Tekan Karakteristik Beton Campuran I

| Benda Uji                             | Umur Pengujian (hari) | Kuat Tekan (MPa) |                   | Kuat Tekan Regresi (MPa) | Faktor Umur  | Estimasi Kuat Tekan 28 hari |  |
|---------------------------------------|-----------------------|------------------|-------------------|--------------------------|--------------|-----------------------------|--|
|                                       |                       | Perhitungan      | Rata <sup>2</sup> |                          |              |                             |  |
| 1                                     | 3                     | 13,16            | 13,46             | 11,08                    | 0,38         | 34,61                       |  |
| 2                                     | 3                     | 13,76            |                   | 11,08                    | 0,38         | 36,19                       |  |
| 3                                     | 4                     | 15,71            |                   | 13,40                    | 0,46         | 34,14                       |  |
| 4                                     | 7                     | 19,68            |                   | 18,36                    | 0,63         | 31,22                       |  |
| 5                                     | 7                     | 17,42            |                   | 18,36                    | 0,63         | 27,63                       |  |
| 6                                     | 7                     | 17,58            |                   | 18,36                    | 0,63         | 27,90                       |  |
| 8                                     | 13                    | 21,01            |                   | 23,76                    | 0,82         | 25,75                       |  |
| 9                                     | 13                    | 23,25            |                   | 23,76                    | 0,82         | 28,50                       |  |
| 7                                     | 14                    | 21,84            |                   | 24,36                    | 0,84         | 26,11                       |  |
| 10                                    | 21                    | 24,74            |                   | 27,34                    | 0,94         | 26,35                       |  |
| 11                                    | 21                    | 23,26            |                   | 27,34                    | 0,94         | 24,78                       |  |
| 12                                    | 21                    | 25,03            |                   | 27,34                    | 0,94         | 26,66                       |  |
| 13                                    | 28                    | 33,41            |                   | 29,12                    | 1,00         | 33,41                       |  |
| 14                                    | 28                    | 31,57            |                   | 29,12                    | 1,00         | 31,57                       |  |
| 15                                    | 28                    | 33,92            |                   | 29,12                    | 1,00         | 33,92                       |  |
| <b>Rata-rata</b>                      |                       |                  |                   |                          | <b>29,91</b> |                             |  |
| <b>Deviasi Standar</b>                |                       |                  |                   |                          |              | <b>3,82</b>                 |  |
| <b>Kuat Tekan Karakteristik (MPa)</b> |                       |                  |                   |                          |              | <b>23,64</b>                |  |

Tabel 3.26 Kuat Tekan Karakteristik Beton Campuran II

| Benda Uji                             | Umur Pengujian (hari) | Kuat Tekan (MPa) |                   | Kuat Tekan Regresi (MPa) | Faktor Umur | Estimasi Kuat Tekan 28 hari |  |
|---------------------------------------|-----------------------|------------------|-------------------|--------------------------|-------------|-----------------------------|--|
|                                       |                       | Perhitungan      | Rata <sup>2</sup> |                          |             |                             |  |
| 1                                     | 4                     | 17,62            | 17,26             | 13,98                    | 0,48        | 36,34                       |  |
| 2                                     | 4                     | 15,45            |                   | 13,98                    | 0,48        | 31,86                       |  |
| 3                                     | 4                     | 18,72            |                   | 13,98                    | 0,48        | 38,61                       |  |
| 4                                     | 7                     | 19,06            |                   | 18,83                    | 0,65        | 29,18                       |  |
| 5                                     | 7                     | 20,16            |                   | 18,83                    | 0,65        | 30,87                       |  |
| 6                                     | 7                     | 11,62            |                   | 18,83                    | 0,65        | 17,79                       |  |
| 7                                     | 13                    | 25,63            |                   | 23,94                    | 0,83        | 30,86                       |  |
| 8                                     | 13                    | 22,52            |                   | 23,94                    | 0,83        | 27,13                       |  |
| 9                                     | 13                    | 24,82            |                   | 23,94                    | 0,83        | 29,89                       |  |
| 10                                    | 21                    | 23,51            |                   | 27,23                    | 0,94        | 24,90                       |  |
| 11                                    | 21                    | 22,91            |                   | 27,23                    | 0,94        | 24,26                       |  |
| 12                                    | 21                    | 30,67            |                   | 27,23                    | 0,94        | 32,48                       |  |
| 13                                    | 28                    | 30,95            |                   | 28,84                    | 1,00        | 30,95                       |  |
| 14                                    | 28                    | 30,56            |                   | 28,84                    | 1,00        | 30,56                       |  |
| 15                                    | 28                    | 28,78            |                   | 28,84                    | 1,00        | 28,78                       |  |
| <b>Rata-rata</b>                      |                       |                  |                   |                          |             | <b>29,63</b>                |  |
| <b>Deviasi Standar</b>                |                       |                  |                   |                          |             | <b>4,95</b>                 |  |
| <b>Kuat Tekan Karakteristik (MPa)</b> |                       |                  |                   |                          |             | <b>21,51</b>                |  |

Tabel 3.27 Kuat Tekan Karakteristik Campuran III

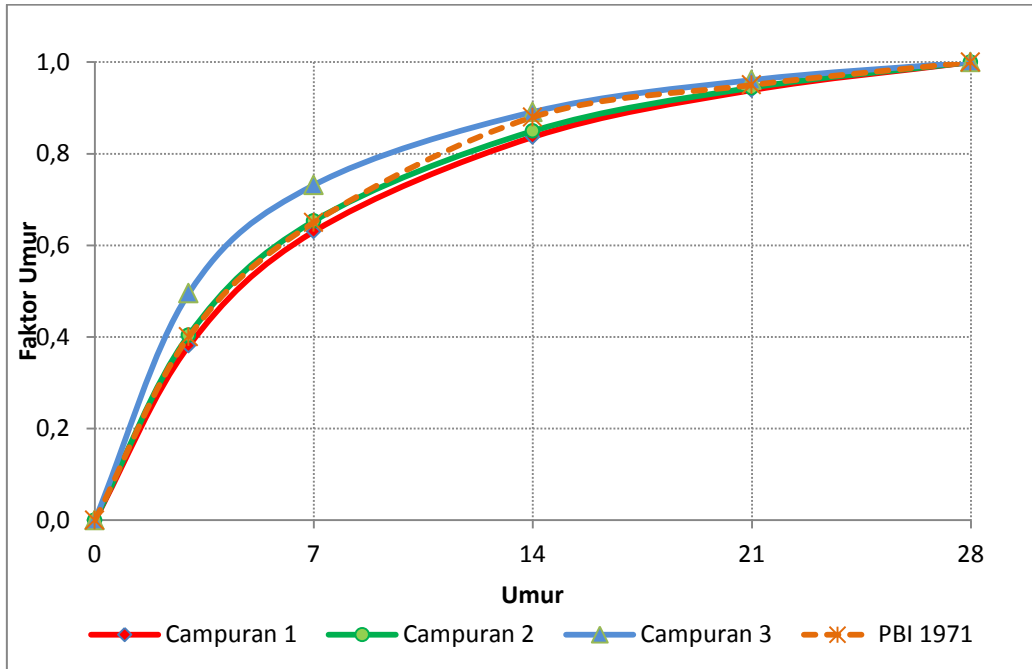
| Benda Uji                             | Umur Pengujian (hari) | Kuat Tekan (MPa) |                   | Kuat Tekan Regresi (MPa) | Faktor Umur | Estimasi Kuat Tekan 28 hari |  |
|---------------------------------------|-----------------------|------------------|-------------------|--------------------------|-------------|-----------------------------|--|
|                                       |                       | Perhitungan      | Rata <sup>2</sup> |                          |             |                             |  |
| 1                                     | 4                     | 14,24            | 15,03             | 14,14                    | 0,58        | 24,69                       |  |
| 2                                     | 4                     | 17,73            |                   | 14,14                    | 0,58        | 30,73                       |  |
| 3                                     | 4                     | 13,13            |                   | 14,14                    | 0,58        | 22,75                       |  |
| 4                                     | 6                     | 17,78            | 16,70             | 16,93                    | 0,69        | 25,75                       |  |
| 5                                     | 6                     | 15,40            |                   | 16,93                    | 0,69        | 22,30                       |  |
| 6                                     | 6                     | 16,93            |                   | 16,93                    | 0,69        | 24,52                       |  |
| 7                                     | 14                    | 18,89            | 21,28             | 21,85                    | 0,89        | 21,20                       |  |
| 8                                     | 14                    | 26,23            |                   | 21,85                    | 0,89        | 29,43                       |  |
| 9                                     | 14                    | 18,71            |                   | 21,85                    | 0,89        | 21,00                       |  |
| 10                                    | 21                    | 20,88            | 23,36             | 23,56                    | 0,96        | 21,73                       |  |
| 11                                    | 21                    | 26,61            |                   | 23,56                    | 0,96        | 27,70                       |  |
| 12                                    | 21                    | 22,58            |                   | 23,56                    | 0,96        | 23,50                       |  |
| 13                                    | 28                    | 20,40            | 24,80             | 24,52                    | 1,00        | 20,40                       |  |
| 14                                    | 28                    | 23,47            |                   | 24,52                    | 1,00        | 23,47                       |  |
| 15                                    | 28                    | 27,78            |                   | 24,52                    | 1,00        | 27,78                       |  |
| 16                                    | 28                    | 27,55            |                   | 24,52                    | 1,00        | 27,55                       |  |
| <b>Rata-rata</b>                      |                       |                  |                   |                          |             | <b>24,66</b>                |  |
| <b>Deviasi Standar</b>                |                       |                  |                   |                          |             | <b>3,19</b>                 |  |
| <b>Kuat Tekan Karakteristik (MPa)</b> |                       |                  |                   |                          |             | <b>19,43</b>                |  |

Dari hasil percobaan menunjukkan bahwa mutu beton yang dapat dicapai (kuat tekan karakteristik aktual) dari campuran I dan II melebihi kuat tekan yang disyaratkan, sedang campuran III mutu betonnya tidak mencapai yang di disyaratkan (20 Mpa). Kuat tekan mengalami penurunan seiring dengan besarnya jumlah agregat halus alami yang diganti oleh agregat halus daur ulang.

Dari gambar 3.8 terlihat bahwa angka perkembangan kuat beton dengan komposisi 60% agregat kasar daur ulang dan 40% agregat halus daur ulang lebih tinggi pada umur 3-7 hari daripada perkembangan umur beton normal sesuai ketentuan PBI (Peraturan Beton Bertulang Indonesia) 1971.

Tabel 3.28 Faktor Umur Kuat Beton

| Umur | Kuat Tekan Hasil Regresi (MPa) |            |            | Faktor Umur |            |            |          |
|------|--------------------------------|------------|------------|-------------|------------|------------|----------|
|      | Campuran 1                     | Campuran 2 | Campuran 3 | Campuran 1  | Campuran 2 | Campuran 3 | PBI 1971 |
| 3    | 11,08                          | 11,65      | 12,15      | 0,38        | 0,40       | 0,50       | 0,40     |
| 7    | 18,36                          | 18,83      | 17,94      | 0,63        | 0,65       | 0,73       | 0,65     |
| 14   | 24,36                          | 24,50      | 21,85      | 0,84        | 0,85       | 0,89       | 0,88     |
| 21   | 27,34                          | 27,23      | 23,56      | 0,94        | 0,94       | 0,96       | 0,95     |
| 28   | 29,12                          | 28,84      | 24,52      | 1,00        | 1,00       | 1,00       | 1,00     |



Gambar 3.8 Perkembangan Kuat Tekan Beton

### 3.3.5 Uji Palu Beton dengan $f'_c = 20$ Mpa

Tabel 3.29 Kuat Tekan Hammer Test

| Hammer Test | Rebound Number |    |    |    |    |    |    |    |    |    | Rebound Number | Kuat Tekan ( $\text{kg/cm}^2$ ) | Kuat Tekan Hammer Test (MPa) | Kuat Tekan Uji Silinder (MPa) | Kalibrasi |
|-------------|----------------|----|----|----|----|----|----|----|----|----|----------------|---------------------------------|------------------------------|-------------------------------|-----------|
|             | 1              | 2  | 3  | 4  | 5  | 6  | 7  | 8  | 9  | 10 |                |                                 |                              |                               |           |
| I-A7        | 27             | 26 | 24 | 26 | 25 | 25 | 24 | 25 | 24 | 27 | 25             | 185,7                           | 18,22                        | 33,41                         | 1,83382   |
| I-B8        | 29             | 23 | 25 | 24 | 24 | 20 | 23 | 25 | 25 | 24 | 24             | 171,4                           | 16,81                        | 31,57                         | 1,87748   |
| I-C8        | 27             | 25 | 26 | 24 | 25 | 24 | 24 | 24 | 25 | 26 | 25             | 185,7                           | 18,22                        | 33,92                         | 1,86224   |
| II-A4       | 31             | 27 | 24 | 24 | 26 | 25 | 23 | 23 | 26 | 29 | 26             | 200,0                           | 19,62                        | 30,95                         | 1,57743   |
| II-B8       | 26             | 31 | 28 | 28 | 26 | 22 | 24 | 26 | 28 | 27 | 26             | 200,0                           | 19,62                        | 30,56                         | 1,55739   |
| II-C9       | 24             | 22 | 24 | 29 | 24 | 22 | 20 | 25 | 22 | 19 | 23             | 157,1                           | 15,41                        | 28,78                         | 1,86735   |
| III-A8      | 36             | 22 | 22 | 25 | 28 | 30 | 22 | 22 | 29 | 26 | 26             | 200,0                           | 19,62                        | 20,40                         | 1,03976   |
| III-A9      | 20             | 22 | 26 | 22 | 23 | 21 | 20 | 22 | 24 | 20 | 22             | 142,8                           | 14,01                        | 23,47                         | 1,67555   |
| III-C9      | 22             | 22 | 22 | 24 | 25 | 22 | 23 | 24 | 23 | 21 | 23             | 157,1                           | 15,41                        | 27,78                         | 1,80278   |
| III-C10     | 23             | 24 | 22 | 23 | 23 | 25 | 23 | 22 | 22 | 23 | 23             | 157,1                           | 15,41                        | 27,55                         | 1,78771   |
|             |                |    |    |    |    |    |    |    |    |    |                |                                 | Kalibrasi Rata-rata          | 1,68815                       |           |

Uji Palu beton dilakukan pada silinder beton yang akan diuji kuat tekan pada umur 28 hari, sehingga kuat tekan yang didapat dari *hammer test* dapat dibandingkan dengan uji kuat tekan silinder. Kuat tekan rata-rata yang didapat dari *hammer test* lebih rendah dan perlu dikalibrasi dengan hasil uji tekan yang didapat dari uji kuat tekan dengan alat *Compression Machine*. Nilai kalibrasi yang didapat dapat dilihat pada tabel di atas.

### 3.3.6 Kuat Tarik Belah dengan $f_c' = 20 \text{ Mpa}$

Pengujian kuat tarik belah silinder akan menghasilkan data berupa besar gaya yang menyebabkan keruntuhan pada benda uji silinder. Uji kuat tarik belah beton dilakukan pada 33 buah benda uji silinder yang terdiri dari 3 variasi campuran yaitu 11 buah benda uji untuk setiap variasi. Silinder diuji pada umur 3, 7, 14, 21, dan 28 hari. Uji tarik belah dilakukan dengan menggunakan *Compression Machine* dengan metode ASTM C496/C 496M – 04 (Tabel 3.30,3.31, dan 3.32).

Gambar 3.9 merupakan hubungan kuat tarik belah terhadap pertambahan umur dari ketiga variasi campuran dari beton daur ulang. Sedangkan Gambar 3. 10 menunjukan perbandingan dari nilai kuat tarik belah yang dibagi  $\sqrt{f_c'}$ , koefisien ini merupakan perbandingan terhadap nilai yang digunakan dalam perhitungan disain teoritis sebesar  $f_{ct} < 0,62\sqrt{f_c'}$ . Nilai koefisien dari ketiga campuran beton ini menunjukan hasil yang nilainya kurang dari 0,62.

Tabel 3.30 Data Hasil Uji Kuat Tarik Belah Beton Campuran I

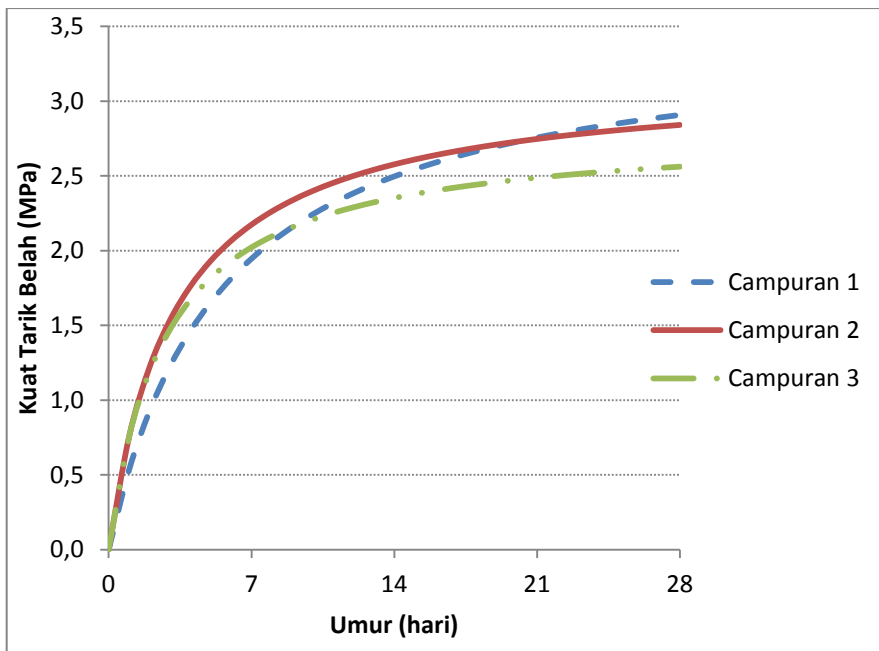
| Benda Uji | Umur Pengujian (Hari) | Ukuran Silinder (cm) |       |            |                 |       |            | Berat Silinder (Kg) | Beban Total (kN) | Luas Penampang (mm <sup>2</sup> ) | Kuat Tarik Belah (MPa) |             |        |  |  |  |
|-----------|-----------------------|----------------------|-------|------------|-----------------|-------|------------|---------------------|------------------|-----------------------------------|------------------------|-------------|--------|--|--|--|
|           |                       | Diameter             |       |            | Tinggi Silinder |       |            |                     |                  |                                   | Aktual                 | Perhitungan | Rata2  |  |  |  |
|           |                       | D1                   | D2    | Drata-rata | H1              | H2    | Drata-rata |                     |                  |                                   |                        |             |        |  |  |  |
| 1         | 3                     | 15,00                | 15,00 | 15,00      | 30,10           | 30,10 | 30,10      | 11,796              | 109,3            | 17662,50000                       | 1,547                  | 1,5419232   | 1,5361 |  |  |  |
| 2         | 3                     | 15,18                | 15,18 | 15,18      | 30,10           | 30,00 | 30,05      | 11,750              | 109,6            | 18088,94340                       | 1,544                  | 1,5303637   |        |  |  |  |
| 3         | 7                     | 15,03                | 15,04 | 15,03      | 30,00           | 30,00 | 30,00      | 11,900              | 162,5            | 17739,12042                       | 2,299                  | 2,2950981   | 1,9983 |  |  |  |
| 4         | 7                     | 15,02                | 15,05 | 15,04      | 30,30           | 30,10 | 30,20      | 11,843              | 121,3            | 17745,02116                       | 1,716                  | 1,7015737   |        |  |  |  |
| 6         | 13                    | 14,98                | 15,19 | 15,08      | 30,15           | 30,00 | 30,08      | 11,948              | 162,2            | 17857,32179                       | 2,294                  | 2,2775726   | 2,2776 |  |  |  |
| 5         | 14                    | 14,95                | 14,95 | 14,95      | 30,10           | 30,20 | 30,15      | 11,060              | 159,2            | 17539,07887                       | 2,252                  | 2,2500260   | 2,2500 |  |  |  |
| 7         | 21                    | 15,02                | 15,04 | 15,03      | 30,10           | 30,15 | 30,13      | 11,920              | 188,0            | 17727,32187                       | 2,659                  | 2,6451141   |        |  |  |  |
| 8         | 21                    | 15,02                | 14,98 | 15,00      | 30,10           | 30,10 | 30,10      | 11,997              | 204,0            | 17662,50000                       | 2,886                  | 2,8778805   | 2,7615 |  |  |  |
| 9         | 28                    | 15,06                | 15,09 | 15,08      | 30,00           | 30,00 | 30,00      | 12,002              | 227,6            | 17839,56656                       | 3,220                  | 3,2054871   |        |  |  |  |
| 10        | 28                    | 15,08                | 15,02 | 15,05      | 29,90           | 30,00 | 29,95      | 11,958              | 188,6            | 17774,53962                       | 2,668                  | 2,6655133   |        |  |  |  |
| 11        | 28                    | 15,07                | 14,99 | 15,03      | 30,10           | 20,00 | 25,05      | 11,921              | 191,1            | 17733,22065                       | 2,704                  | 3,2329153   | 3,0346 |  |  |  |

Tabel 3.31 Data Hasil Uji Kuat Tarik Belah Beton Campuran II

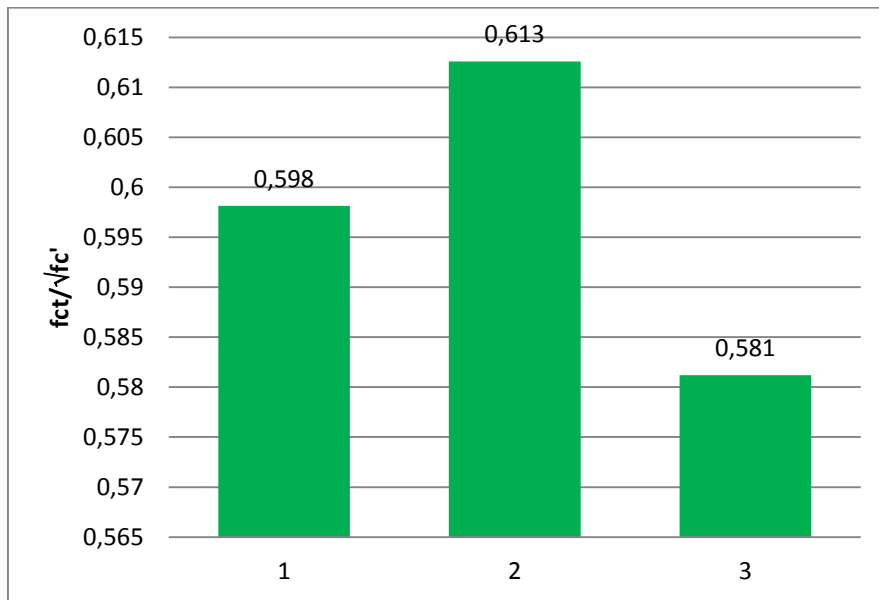
| Benda Uji | Umur Pengujian (Hari) | Ukuran Silinder (cm) |       |            |                 |       |            | Berat Silinder (Kg) | Beban Total (kN) | Luas Penampang (mm <sup>2</sup> ) | Kuat Tarik Belah (MPa) |             |        |  |  |  |
|-----------|-----------------------|----------------------|-------|------------|-----------------|-------|------------|---------------------|------------------|-----------------------------------|------------------------|-------------|--------|--|--|--|
|           |                       | Diameter             |       |            | Tinggi Silinder |       |            |                     |                  |                                   | Aktual                 | Perhitungan | Rata2  |  |  |  |
|           |                       | D1                   | D2    | Drata-rata | H1              | H2    | Drata-rata |                     |                  |                                   |                        |             |        |  |  |  |
| 1         | 4                     | 15,02                | 15,05 | 15,04      | 30,00           | 30,10 | 30,05      | 11,944              | 135,7            | 17745,02116                       | 1,919                  | 1,9130763   | 1,9019 |  |  |  |
| 2         | 4                     | 15,07                | 15,07 | 15,07      | 30,00           | 30,10 | 30,05      | 11,916              | 134,4            | 17821,82017                       | 1,901                  | 1,8906622   |        |  |  |  |
| 3         | 7                     | 15,02                | 15,04 | 15,03      | 30,20           | 30,00 | 30,10      | 11,935              | 112,4            | 17727,32187                       | 1,590                  | 1,5827540   | 1,9010 |  |  |  |
| 4         | 7                     | 15,13                | 15,16 | 15,15      | 30,00           | 30,00 | 30,00      | 11,915              | 158,3            | 18005,62546                       | 2,239                  | 2,2191708   |        |  |  |  |
| 5         | 13                    | 15,01                | 15,14 | 15,08      | 30,00           | 30,10 | 30,05      | 12,005              | 219,9            | 17839,56656                       | 3,111                  | 3,0918882   |        |  |  |  |
| 6         | 13                    | 15,03                | 15,19 | 15,11      | 30,10           | 30,00 | 30,05      | 11,865              | 160,6            | 17916,56967                       | 2,272                  | 2,2532470   | 2,6726 |  |  |  |
| 7         | 21                    | 15,02                | 15,04 | 15,03      | 30,30           | 30,15 | 30,23      | 11,930              | 192,5            | 17733,22065                       | 2,723                  | 2,6990181   |        |  |  |  |
| 8         | 21                    | 15,08                | 14,97 | 15,03      | 30,00           | 30,10 | 30,05      | 11,957              | 212,5            | 17721,42406                       | 3,006                  | 2,9977839   | 2,8484 |  |  |  |
| 9         | 28                    | 15,08                | 15,12 | 15,10      | 30,10           | 30,10 | 30,10      | 12,031              | 190,5            | 17892,85874                       | 2,695                  | 2,6700770   |        |  |  |  |
| 10        | 28                    | 14,97                | 15,04 | 15,01      | 30,10           | 30,10 | 30,10      | 11,893              | 198,1            | 17674,27696                       | 2,805                  | 2,7937165   |        |  |  |  |
| 11        | 28                    | 15,01                | 15,00 | 15,01      | 30,20           | 30,10 | 30,15      | 11,740              | 203,6            | 17674,27696                       | 2,881                  | 2,8665189   | 2,7768 |  |  |  |

Tabel 3.32 Data Hasil Uji Kuat Tarik Belah Beton Campuran III

| Benda Uji | Umur Pengujian (Hari) | Ukuran Silinder (cm) |       |            |                 |       |            | Berat Silinder (Kg) | Beban Total (kN) | Luas Penampang (mm <sup>2</sup> ) | Kuat Tarik Belah (MPa) |             |        |  |  |  |
|-----------|-----------------------|----------------------|-------|------------|-----------------|-------|------------|---------------------|------------------|-----------------------------------|------------------------|-------------|--------|--|--|--|
|           |                       | Diameter             |       |            | Tinggi Silinder |       |            |                     |                  |                                   | Aktual                 | Perhitungan | Rata2  |  |  |  |
|           |                       | D1                   | D2    | Drata-rata | H1              | H2    | Drata-rata |                     |                  |                                   |                        |             |        |  |  |  |
| 1         | 4                     | 15,01                | 15,03 | 15,02      | 30,10           | 30,20 | 30,15      | 11,862              | 121,2            | 17703,7365                        | 1,715                  | 1,7049750   | 1,6579 |  |  |  |
| 2         | 4                     | 14,91                | 14,92 | 14,91      | 30,10           | 30,05 | 30,08      | 11,700              | 113,4            | 17451,1859                        | 1,604                  | 1,6107574   |        |  |  |  |
| 3         | 6                     | 14,99                | 14,98 | 14,99      | 30,05           | 30,00 | 30,03      | 11,734              | 133,2            | 17627,1927                        | 1,885                  | 1,8856662   | 2,0273 |  |  |  |
| 4         | 6                     | 15,04                | 15,06 | 15,05      | 30,00           | 30,10 | 30,05      | 11,902              | 154,0            | 17780,4463                        | 2,179                  | 2,1689028   |        |  |  |  |
| 5         | 14                    | 14,98                | 15,04 | 15,01      | 30,10           | 30,10 | 30,10      | 11,795              | 169,8            | 17680,1669                        | 2,402                  | 2,3942152   |        |  |  |  |
| 6         | 14                    | 15,05                | 15,13 | 15,09      | 30,00           | 30,10 | 30,05      | 11,735              | 166,8            | 17863,2422                        | 2,360                  | 2,3437247   | 2,3690 |  |  |  |
| 7         | 21                    | 15,06                | 15,13 | 15,10      | 30,10           | 30,10 | 30,10      | 11,947              | 194,7            | 17886,9335                        | 2,755                  | 2,7293969   |        |  |  |  |
| 8         | 21                    | 15,03                | 15,00 | 15,01      | 30,10           | 30,20 | 30,15      | 11,845              | 151,7            | 17691,9498                        | 2,146                  | 2,1347430   |        |  |  |  |
| 9         | 28                    | 15,05                | 14,90 | 14,98      | 30,10           | 30,00 | 30,05      | 11,815              | 171,7            | 17603,6741                        | 2,429                  | 2,4302969   |        |  |  |  |
| 10        | 28                    | 14,93                | 14,90 | 14,92      | 30,00           | 30,00 | 30,00      | 11,641              | 178,1            | 17462,8922                        | 2,519                  | 2,5352439   |        |  |  |  |
| 11        | 28                    | 15,01                | 15,02 | 15,02      | 30,20           | 30,10 | 30,15      | 11,781              | 198,2            | 17697,8427                        | 2,804                  | 2,7886329   | 2,5847 |  |  |  |



Gambar 3.9 Hubungan Kuat Tarik Belah Beton terhadap Pertambahan Umur



Gambar 3.10 Perbandingan Nilai Kuat Tarik Belah dibagi  $\sqrt{f_c'}$

### 3.3.7 Uji Kuat Geser Balok dengan $f_c' = 20$ Mpa

Pengujian kuat geser bertujuan untuk mengetahui besaran nilai kekuatan geser dari balok beton, kemudian dibandingkan dengan hasil perhitungan secara analisis. Pada uji geser balok digunakan sistem pembebanan *single point loading* dimana pembebanan diletakan pada bagian tengah dari balok beton yang diuji dengan menggunakan mesin CTM (Gambar 3.11).



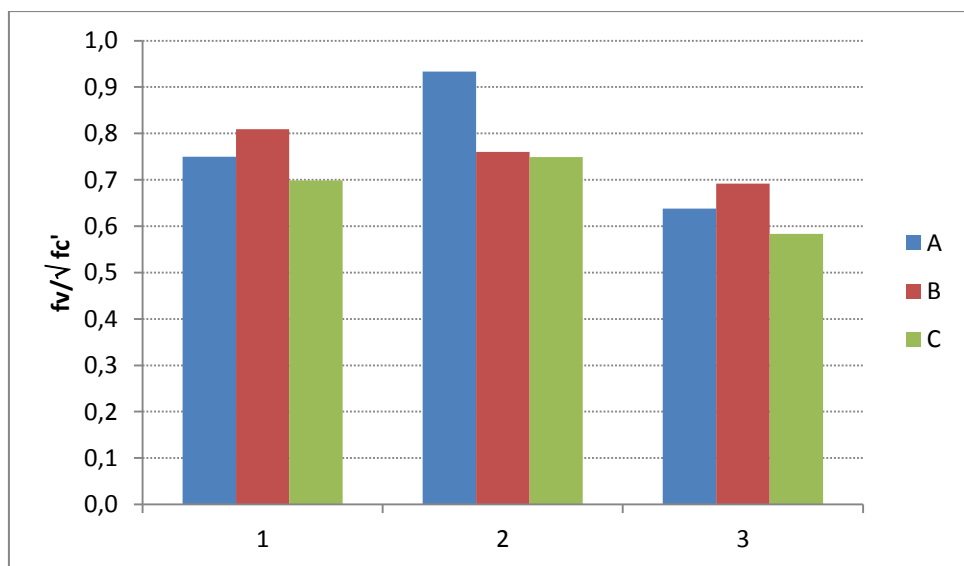
Gambar 3.11 Benda Uji Kuat Geser

Nilai kuat geser beton dari hasil percobaan dapat dilihat dari Tabel 3.33. Sedangkan Gambar 3.11 menunjukkan perbandingan dari nilai kuat geser yang dibagi  $\sqrt{f_c'}$ , nilai ini dicari sebagai perbandingan terhadap nilai yang biasa digunakan dalam perhitungan teoritis  $f_v < \frac{1}{6}\sqrt{f_c'}$ . Nilai koefisien dari ketiga campuran beton ini menunjukkan hasil yang nilainya lebih dari  $\frac{1}{6}$ , maka beton dengan agregat kasar daur ulang dari eksperimen ini dianggap aman menggunakan koefisien  $\frac{1}{6}$  dalam disain kuat geser.

Tabel 3.33 Hasil Kuat Geser Beton dengan Agregat Daur Ulang

| Kode | Ukuran (cm) |      | Beban Hancur (kN) | Kuat Geser (MPa) | Koefisien |
|------|-------------|------|-------------------|------------------|-----------|
|      | b           | D    |                   |                  |           |
| 1A   | 10,1        | 10,1 | 37,30             | 3,645            |           |

|    |      |      |       |       |       |
|----|------|------|-------|-------|-------|
|    |      |      |       |       | 0,750 |
| 1B | 10,1 | 10,2 | 40,50 | 3,935 | 0,809 |
| 1C | 10,1 | 10,1 | 34,70 | 3,398 | 0,699 |
| 2A | 10   | 10,3 | 44,60 | 4,330 | 0,934 |
| 2B | 10   | 10,3 | 36,30 | 3,524 | 0,760 |
| 2C | 10   | 10,3 | 35,80 | 3,476 | 0,749 |
| 3A | 10,1 | 10,1 | 28,70 | 2,813 | 0,638 |
| 3B | 10,1 | 10   | 30,80 | 3,050 | 0,692 |
| 3C | 10,2 | 10,1 | 26,50 | 2,572 | 0,584 |



Gambar 3.12 Perbandingan Nilai Kuat Geser dibagi  $\sqrt{f_c'}$



## BAB 4

### Perilaku Balok Beton Bertulang Daur Ulang

#### 4.1 Pengujian Kuat Lentur Balok Tanpa Tulangan

Pengujian kuat lentur balok dilakukan terhadap 9 balok beton tanpa tulangan dengan ukuran  $200 \times 200 \times 700 \text{ mm}^3$ , masing-masing 3 balok untuk setiap campuran. Dimana sebelumnya beton dengan campuran yang sama telah dilakukan pengujian tekan, tarik belah, dan geser. Semua balok beton menggunakan bahan dasar semen PCC tipe I dan agregat halus alami. Sedangkan agregat kasar alami 100% digunakan untuk campuran 1, agregat kasar daur ulang 50% digunakan untuk campuran 2, dan agregat kasar daur ulang digunakan pada campuran 3, dimana semua campuran direncanakan dengan  $fc' = 25 \text{ Mpa}$ . Pengujian kuat lentur balok menggunakan alat *UTM* pada umur beton 28 hari dengan pembebanan *third point loading*.

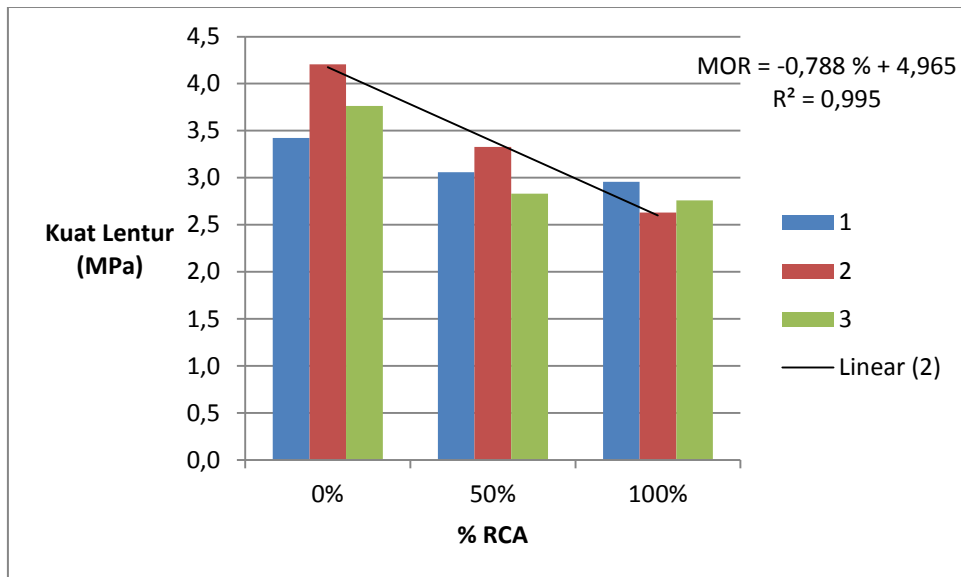


Gambar 4.1 Pengujian Lentur Balok Beton Tanpa Tulangan dengan *UTM*

Besarnya beban maksimum yang dapat diterima oleh balok dibandingkan dengan hasil perhitungan secara analisis. Perhitungan kuat lentur balok beton tanpa tulangan menggunakan Persamaan 2.4 (Tabel 4.1).

Tabel 4.1 Hasil Pengujian Kuat Lentur Balok Beton Tanpa Tulangan

| Persentase RCA | Kode sampel | b (mm) | d (mm) | L (mm) | Beban Hancur (N) | Modulus of Rupture (MPa) | Modulus of Rupture Rata-rata (MPa) |
|----------------|-------------|--------|--------|--------|------------------|--------------------------|------------------------------------|
| 0%             | 1-A         | 206,5  | 190,0  | 700,0  | 36436            | 3,421                    | 3,797                              |
|                | 1-B         | 199,5  | 202,0  | 703,0  | 48706            | 4,206                    |                                    |
|                | 1-C         | 200,0  | 205,0  | 702,5  | 45031            | 3,764                    |                                    |
| 50%            | 2-A         | 201,0  | 201,5  | 700,0  | 35672            | 3,060                    | 3,073                              |
|                | 2-B         | 201,0  | 201,5  | 700,0  | 38808            | 3,329                    |                                    |
|                | 2-C         | 201,0  | 204,0  | 700,0  | 33810            | 2,829                    |                                    |
| 100%           | 3-A         | 199,0  | 210,0  | 700,0  | 37044            | 2,955                    | 2,781                              |
|                | 3-B         | 199,0  | 199,0  | 700,0  | 29596            | 2,629                    |                                    |
|                | 3-C         | 201,0  | 203,0  | 700,0  | 32634            | 2,758                    |                                    |



Gambar 4.2 Grafik Perbandingan Kuat Lentur Balok Tanpa Tulangan

Dari tabel dan grafik hasil uji kuat lentur terlihat bahwa terjadi penurunan kuat lentur balok seiring dengan semakin banyaknya persentase agregat kasar daur ulang yang dipakai.

Tabel 4.2 Perbandingan Nilai Kuat Lentur Beton dibagi  $\sqrt{fc'}$

| Persentase Agregat Kasar | Modulus of Rupture Rata-rata (MPa) | $fc'$ (MPa) | $R/\sqrt{fc'}$ |
|--------------------------|------------------------------------|-------------|----------------|
| 0% RCA                   | 3,797                              | 20,28       | 0,843          |
| 50% RCA                  | 3,073                              | 28,7        | 0,574          |
| 100%RCA                  | 2,781                              | 28,37       | 0,522          |

Tabel 4.2 menunjukkan perbandingan dari nilai kuat tarik yang dibagi  $\sqrt{fc'}$ , koefisien ini merupakan perbandingan terhadap perhitungan teoritis campuran 1 dengan 0% RCA yang menunjukkan  $R > 0,62\sqrt{fc'}$ . Nilai koefisien beton 50% RCA dan 100% RCA menunjukkan hasil yang nilainya lebih kecil dari 0,62.

#### 4.5 Pengujian Kuat Lentur Balok Beton Bertulang

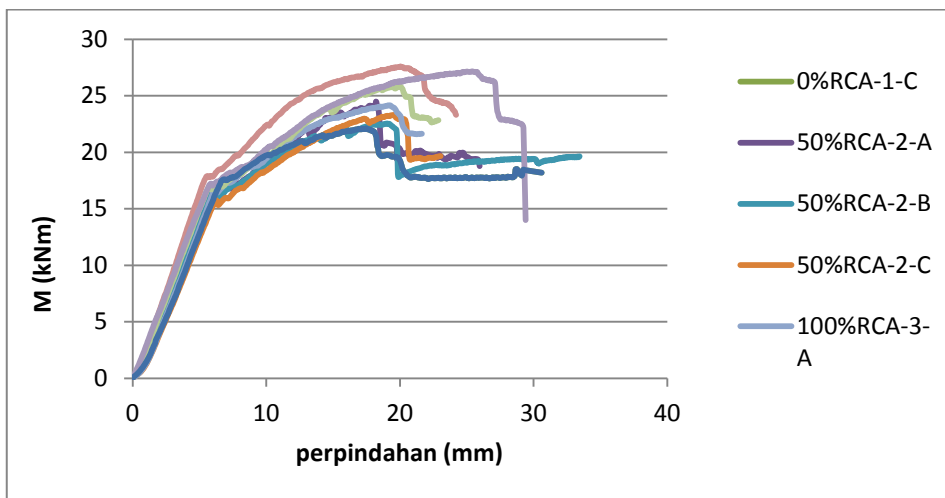
Pengujian kuat lentur balok dilakukan terhadap 9 balok beton bertulang dengan ukuran  $200 \times 200 \times 1200 \text{ mm}^3$ , masing-masing 3 balok untuk setiap campuran. Perencanaan campuran untuk balok beton bertulang sama seperti campuran untuk balok tanpa tulangan. Pengujian menggunakan pembebanan *third point loading* dengan bentang pengujian 1050 mm dan jarak antar beban terpusat 350 mm dengan menggunakan *UTM*. Selama pengujian retak yang terjadi pada benda uji diberi tanda dan beban maksimumnya dicatat. (Tabel 4.2).



Gambar 4.3 Pengujian Lentur Balok Beton Bertulangan dengan *UTM*

Tabel 4.3 Data Hasil Pengujian Kuat Lentur Balok Beton Bertulang

| Persentase Agregat Kasar | Kode sampel | b (mm) | d (mm) | L (mm) | Beban Ultimate (N) |
|--------------------------|-------------|--------|--------|--------|--------------------|
| 0%                       | 1-A         | 200,5  | 208,0  | 1203,0 | 123150             |
|                          | 1-B         | 198,0  | 206,0  | 1202,0 | 139940             |
|                          | 1-C         | 198,0  | 207,0  | 1202,0 | 126380             |
| 50%                      | 2-A         | 205,0  | 203,0  | 1202,0 | 128830             |
|                          | 2-B         | 205,0  | 202,0  | 1203,0 | 133140             |
|                          | 2-C         | 201,0  | 205,0  | 1203,0 | 138040             |
| 100%                     | 3-A         | 210,0  | 205,0  | 1205,0 | 157690             |
|                          | 3-B         | 208,0  | 208,5  | 1202,0 | 147540             |
|                          | 3-C         | 210,0  | 198,0  | 1203,0 | 155190             |



Gambar 4.4 Grafik Perbandingan Kuat Lentur Balok Beton Bertulang

Tabel 4.4 Perbandingan Nilai Kuat Lentur Balok Bertulang Hasil Pengujian dan Hasil Perhitungan

| Persentase Agregat Kasar | Kode sampel | Py (kN) | Pu (kN) | Hasil Pengujian |          | Hasil Perhitungan |          |
|--------------------------|-------------|---------|---------|-----------------|----------|-------------------|----------|
|                          |             |         |         | My (kNm)        | Mu (kNm) | My (kNm)          | Mu (kNm) |
| 0%                       | 1-A         | 88,79   | 123,15  | 15,54           | 21,55    | 16,62             | 22,74    |
|                          | 1-B         | 95,30   | 139,94  | 16,68           | 24,49    | 16,16             | 22,53    |
|                          | 1-C         | 101,10  | 126,38  | 17,69           | 22,12    | 16,15             | 22,38    |

|      |     |        |        |       |       |       |       |
|------|-----|--------|--------|-------|-------|-------|-------|
|      | 2-A | 95,45  | 128,83 | 16,70 | 22,55 | 16,56 | 22,92 |
| 50%  | 2-B | 89,33  | 133,14 | 15,63 | 23,30 | 16,10 | 22,59 |
|      | 2-C | 96,77  | 138,04 | 16,93 | 24,16 | 16,70 | 22,79 |
| 100% | 3-A | 102,66 | 157,69 | 17,97 | 27,60 | 16,51 | 23,33 |
|      | 3-B | 97,60  | 147,54 | 17,08 | 25,82 | 16,98 | 23,62 |
|      | 3-C | 99,45  | 155,19 | 17,40 | 27,16 | 15,80 | 22,44 |

Dari hasil uji kuat lentur beton bertulang seperti dalam Tabel 4.4 didapatkan bahwa beban yang bekerja pada saat mulai leleh relatif sama diantara 88,79 – 102,66 kN. Momen lentur adalah diantara 15,53 – 22,19 kNm, 15,63 – 16,93 kNm dan 17,08 – 17,97 kNm untuk masing-masing campuran dengan agregat kasar 0%, 50% dan 100% , juga ditunjukkan seperti Gambar 4.3.

#### 4.6 Pola Retak Uji Balok Beton Bertulang

Pola retak yang terjadi adalah pola retak lentur, hal ini terlihat dari arah retak yang vertikal terhadap sumbu memanjang balok seperti terlihat pada Gambar 4.4, Gambar 4.5 dan Gambar 4.6.

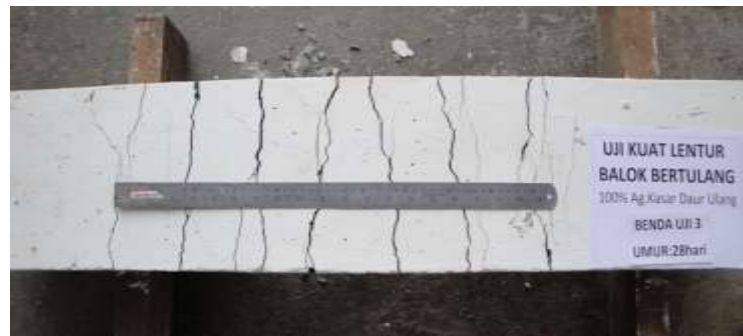
Balok beton dengan 0% RCA memiliki kesamaan pola retak dengan balok beton dengan 50% RCA dan balok beton dengan 100% RCA, yaitu diawali dengan terjadinya retak di tengah bentang dan dibawah beban, kemudian retak semakin lama bertambah di daerah sepertiga bentang pembebanan. Jumlah retak yang terjadi pada 3 balok beton dengan 0% RCA sebanyak 6 retakan, sedangkan pada balok beton dengan 50% RCA dan balok beton dengan 100% RCA sebanyak 7 retakan.



4.5 Pola Retak Akibat Uji Lentur Pada Balok Beton Bertulang 0%RCA



Gambar 4.6 Pola Retak Akibat Uji Lentur Pada Balok Beton Bertulang 50% RCA



Gambar 4.7 Pola Retak Akibat Uji Lentur Pada Balok Beton Bertulang 100%RCA

#### 4.7 Daktilitas

Beban pada saat leleh untuk balok dengan 50% RCA dan 100% RCA terjadi pada deformasi yang lebih kecil, mengakibatkan daktilitas pada balok beton bertulang dengan RCA menjadi lebih besar. Secara umum daktilitas dengan RCA antara 3,07 – 4,26.

Tabel 4.5 Daktilitas Akibat Uji Lentur Pada Balok Beton Bertulang

| No      | Py (kg)  | $\delta_y$ (mm) | Pu (kg)  | $\delta_u$ (mm) | Pu/Py | $\delta_u / \delta_y$ |
|---------|----------|-----------------|----------|-----------------|-------|-----------------------|
| 0%RCA   |          |                 |          |                 |       |                       |
| 1       | 8879,26  | 6,99            | 12313,00 | 17,48           | 1,39  | 2,50                  |
| 2       | 9530,78  | 6,24            | 13993,50 | 18,20           | 1,47  | 2,92                  |
| 3       | 10110,80 | 6,72            | 12638,00 | 17,32           | 1,25  | 2,58                  |
| 50%RCA  |          |                 |          |                 |       |                       |
| 1       | 9545,48  | 5,85            | 12883,00 | 18,91           | 1,35  | 3,23                  |
| 2       | 8933,74  | 6,21            | 13313,50 | 19,32           | 1,49  | 3,11                  |
| 3       | 9539,76  | 6,28            | 13803,50 | 19,28           | 1,45  | 3,07                  |
| 100%RCA |          |                 |          |                 |       |                       |
| 1       | 10266,10 | 5,80            | 15769,00 | 20,36           | 1,54  | 3,51                  |
| 2       | 9760,26  | 5,75            | 14753,50 | 20,14           | 1,51  | 3,50                  |
| 3       | 9945,28  | 5,90            | 15519,00 | 25,15           | 1,56  | 4,26                  |

## BAB 5

### Perilaku Pelat Beton Bertulang Daur Ulang

#### 5.1 Pengujian Kuat Lentur Pelat Beton Bertulang

Pengujian kuat lentur pelat dilakukan terhadap 9 pelat beton bertulang dengan ukuran  $500 \times 120 \times 1200 \text{ mm}^3$ , masing-masing 3 balok untuk setiap campuran. Dimana sebelumnya beton dengan campuran yang sama telah dilakukan pengujian tekan, tarik belah, dan geser. Semua balok beton menggunakan bahan dasar semen PCC tipe I. Campuran I menggunakan agregat halus alami dan agregat kasar daur ulang 100%. Campuran II menggunakan agregat halus daur ulang 20% dan agregat kasar daur ulang 80%. Campuran III menggunakan agregat halus daur ulang 40% dan agregat kasar daur ulang 60%. Dimana semua campuran direncanakan dengan  $f'_c = 20 \text{ Mpa}$ . Pengujian kuat lentur balok menggunakan alat *UTM* pada umur beton 28 hari dengan pembebangan *third point loading* dan jarak antar perletakan sebesar 1050 mm.



**Gambar 5.1** Pengujian Kuat Lentur

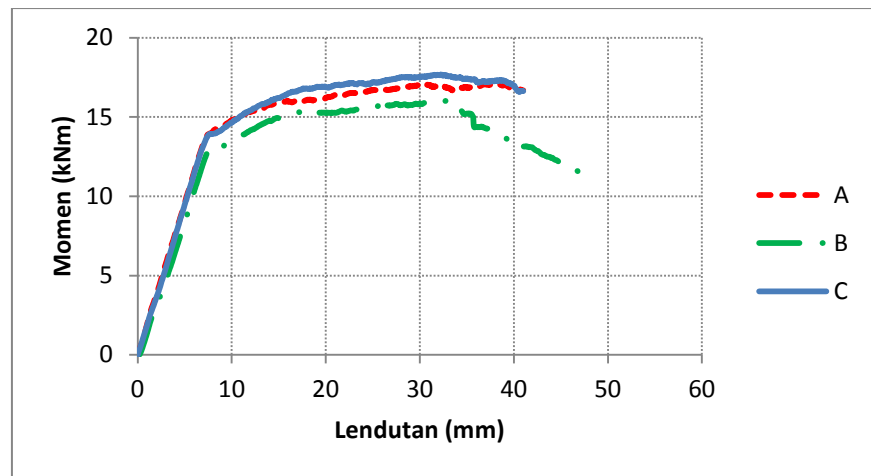
**Tabel 5.1** Hasil Uji Lentur Pelat Beton Bertulang Daur Ulang

| Benda Uji | Beban Ultimate | Momen Ultimate | Beban Leleh | Momen Leleh | Momen |
|-----------|----------------|----------------|-------------|-------------|-------|
|-----------|----------------|----------------|-------------|-------------|-------|

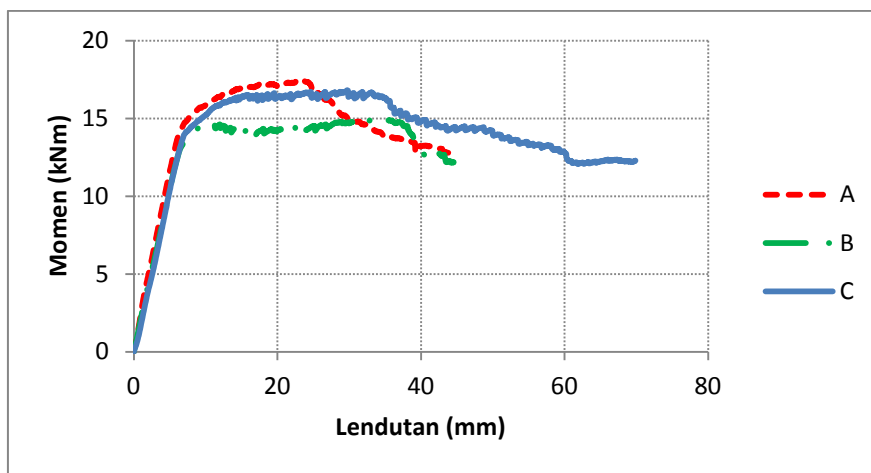
|    | Pu(kN)  | Mu(kNm) | Py(kNm) | My(kNm)    |           | Teoritis<br>(kNm) |
|----|---------|---------|---------|------------|-----------|-------------------|
|    |         |         |         | Eksperimen | Rata-rata |                   |
| 1A | 97,487  | 17,060  | 76,3218 | 13,356     | 12,977    | 11,922            |
| 1B | 91,768  | 16,059  | 70,9557 | 12,417     |           |                   |
| 1C | 100,999 | 17,675  | 75,1789 | 13,156     |           |                   |
| 2A | 99,738  | 17,454  | 76,518  | 13,391     | 12,942    | 11,922            |
| 2B | 85,239  | 14,917  | 70,5633 | 12,349     |           |                   |
| 2C | 96,010  | 16,802  | 74,7816 | 13,087     |           |                   |
| 3A | 86,819  | 15,193  | 64,9814 | 11,372     | 11,933    | 11,922            |
| 3B | 95,221  | 16,664  | 71,8632 | 12,576     |           |                   |
| 3C | 82,301  | 14,403  | 67,7233 | 11,852     |           |                   |

Tabel 5.1 menunjukkan beban ultimate dari tiap benda uji dan perhitungan nilai momen lentur yang terjadi. Nilai momen lentur yang didapat dari eksperimen merupakan momen leleh dan nilai ini lebih besar dari momen teoritis karena, nilai  $f'_c$  dari pelat beton bertulang dengan agregat daur ulang nilainya tidak sama dengan 20 MPa. Maka dari itu, nilai momen teoritis nilainya lebih kecil daripada nilai momen pada eksperimen.

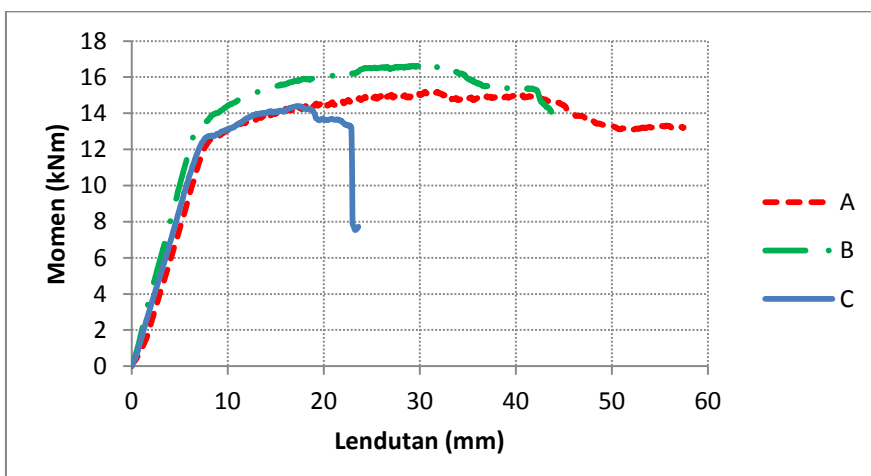
Gambar 5.2, Gambar 5.3, dan Gambar 5.4 menunjukkan hubungan momen dengan lendutan yang terjadi pada pelat beton bertulang dengan agregat daur ulang. Pada pelat beton bertulang campuran I, nilai lendutan maksimum rata-rata yang terjadi sebesar 34 mm. Pada pelat beton bertulang campuran II, nilai lendutan maksimum rata-rata yang terjadi sebesar 28 mm. Dan pada pelat beton bertulang campuran III lendutan maksimum rata-rata yang terjadi sebesar 26 mm. Pada pelat beton campuran III benda uji C, nilai lendutan yang terjadi jauh lebih kecil dari benda uji lainnya meskipun nilai beban maksimum yang dapat diterimanya tidak jauh berbeda dengan benda uji lainnya. Kemungkinan ikatan antara tulangan dan beton tidak terlalu kuat dan atau pada bagian tersebut nilai kuat tekan relatif lebih kecil dari bagian lainnya.



**Gambar 5.2** Hubungan Lendutan-Momen pada Uji Pelat Beton Bertulang Campuran I



**Gambar 5.3** Hubungan Lendutan-Momen pada Uji Pelat Beton Bertulang Campuran II



**Gambar 5.4** Hubungan Lendutan-Momen pada Uji Pelat Beton Bertulang Campuran III

### 5.2 Pola Retak Pelat Beton Bertulang

Pola retak yang terjadi pada pelat beton bertulang dengan agregat daur ulang kurang lebih sama pada seluruh benda uji (Gambar 5.4). Retak terjadi di tengah bentang diikuti retak-retak yang terjadi di dekat titik beban. Namun pada benda uji 2A dan 3C terjadi lepasnya bongkahan beton yang memperlihatkan slip nya tulangan baja dengan beton seperti yang ditunjukan pada Gambar 4.15.



**Gambar 5.5** Pelat Bertulang Pola Retak Beton



**Gambar 5.6** Pola Retak dan Lepasnya Bongkahan Beton pada Benda Uji

### 5.3 Daktilitas Pelat Beton Bertulang

Daktilitas dari pelat bertulang beton dengan agregat daur ulang ditunjukan dalam Tabel 5.2. Daktilitas dari pelat bertulang ini kurang lebih sama dengan nilai daktilitas dari elemen struktur bertulang lainnya yang terbuat dari beton dengan agregat alami. Nilai daktilitas dari benda uji 3C lebih kecil dari lainnya, dapat disebabkan karena pelat telah runtuh sebelum pelat mengalami lendutan maksimumnya. Terlihat dari bongkahan beton yang lepas sehingga tulangan dari pelat terlihat.

Tabel 5.2 Daktilitas Pelat Bertulang Beton dengan Agregat Daur Ulang

| Benda Uji | Lendutan (mm) |            | Rasio $\delta_u/\delta_y$ |
|-----------|---------------|------------|---------------------------|
|           | $\delta_y$    | $\delta_u$ |                           |
| 1A        | 6,96          | 36,88      | 5,30                      |
| 1B        | 7,12          | 33,44      | 4,70                      |
| 1C        | 6,92          | 32,24      | 4,66                      |
| 2A        | 5,84          | 22,76      | 3,90                      |
| 2B        | 5,96          | 32,40      | 5,44                      |
| 2C        | 6,36          | 29,64      | 4,66                      |
| 3A        | 7,04          | 30,52      | 4,34                      |
| 3B        | 6,28          | 31,08      | 4,95                      |
| 3C        | 6,84          | 17,40      | 2,54                      |

## BAB 6

### KESIMPULAN DAN SARAN

- 6.1** Kesimpulan untuk beton dengan kuat tekan karakteristik 25 MPa
1. Kuat tekan karakteristik beton dengan agregat kasar daur ulang menunjukkan hasil yang relatif sama dengan bertambahnya persentase agregat kasar daur ulang. Campuran 50% RCA memberikan nilai kuat tekan karakteristik aktual 28,7 MPa sedangkan campuran 100% RCA sebesar 28,3 MPa.
  2. Kuat tarik belah beton dengan agregat kasar daur ulang menunjukkan hasil yang relatif sama dengan bertambahnya persentase agregat kasar daur ulang. Campuran 50% RCA sebesar 2,56 MPa sedangkan 100% RCA sebesar 2,81 MPa.
  3. Semakin besar persentase agregat kasar daur ulang yang digunakan, semakin turun nilai kuat lentur pada pelat beton bertulang.
  4. Semakin besar persentase agregat kasar daur ulang yang digunakan semakin turun nilai kuat gesernya.
  5. Semakin besar persentase agregat kasar daur ulang yang digunakan semakin besar nilai daktilitasnya.
- 6.2** Kesimpulan untuk beton dengan kuat tekan karakteristik 20 MPa
1. Semakin besar persentase agregat halus daur ulang yang digunakan, semakin turun nilai kuat tekan karakteristiknya. Untuk proporsi 40% agregat halus daur ulang mempunyai nilai kuat tekan karakteristik tidak mencapai 20 MPa.
  2. Semakin besar persentase agregat halus daur ulang yang digunakan, semakin turun nilai kuat tarik belah dan kuat tarik lenturnya. Nilai kuat tarik yang didapatkan tidak melebihi nilai kuat tarik ijin sehingga dinilai tidak aman.
  3. Semakin besar persentase agregat halus daur ulang yang digunakan, semakin turun nilai kuat gesernya. Nilai kuat geser yang didapatkan masih jauh melebihi nilai kuat geser ijin sehingga dianggap aman menggunakan nilai  $f_v < \frac{1}{6}\sqrt{f_c'}$
  4. Daktilitas ketiga campuran menunjukkan nilai yang hampir sama besar.
  5. Semakin besar persentase agregat halus daur ulang yang digunakan, semakin turun nilai kuat lentur pada pelat beton bertulang, namun nilainya tidak terlalu signifikan.
- 6.3 Saran**
1. *Trial mixed* perlu dilakukan beberapa kali sehingga proporsi campuran lebih sempurna dan memperoleh sifat-sifat beton yang diinginkan.
  2. Peralatan laboratorium yang lama perlu diperbaharui sehingga menunjang hasil penelitian yang lebih akurat.

## DAFTAR PUSTAKA

- ACI Committee 318 (2008). *Building Code Requirements for Structural Concrete (ACI 318-08) and Commentary*. Farmington Hills, USA.
- ASTM C 78. *Standard Test Method for Flexural Strength of Concrete Using Simple Beam with Third-Point Loading*. Farmington Hills, USA.
- Departemen Pekerjaan Umum : SNI 03-2847-2002. (2002). *Tata Cara Perencanaan Struktur Beton untuk Bangunan Gedung*. Badan Standarisasi Nasional, Jakarta, Indonesia.
- El-Reedy, M. A. (2009). *Advanced Materials and Techniques for Reinforced Concrete Structures*. CRC Press.
- Lauw, C. (2009). *Teknologi Bahan Konstruksi*. Diktat kuliah Universitas Katolik Parahyangan, Bandung, Indonesia.
- Nawy, Edward G. (2005). *Reinforced Concrete*. 5th ed.
- Neville, A.M. 1981. *Properties of Concrete*. Pittman Publication, 3rd ed.
- Nugraha, P., Antoni (2007). *Teknologi Beton: Dari Material, Pembuatan, ke Beton Kinerja Tinggi*, Penerbit Andi, Yogyakarta, Indonesia.
- Pani, L., Francesconi, L. and Concu, G. (2011). *Influence of Replacement Percentage of Recycle Aggregates on Recycled Aggregate Concrete Properties, Symposium PRAGUE*, Fib.
- Yong, P.C., Teo, D.C.L. (2009). *Utilisation of Recycled Aggregate as Coarse Aggregate in Concrete*, UNIMAS E-Journal of Civil Engineering.
- Hansen, T.C. (1992). *Recycling of Demolished Concrete and Masonry*. 1st ed. Taylor & Francis Group.



